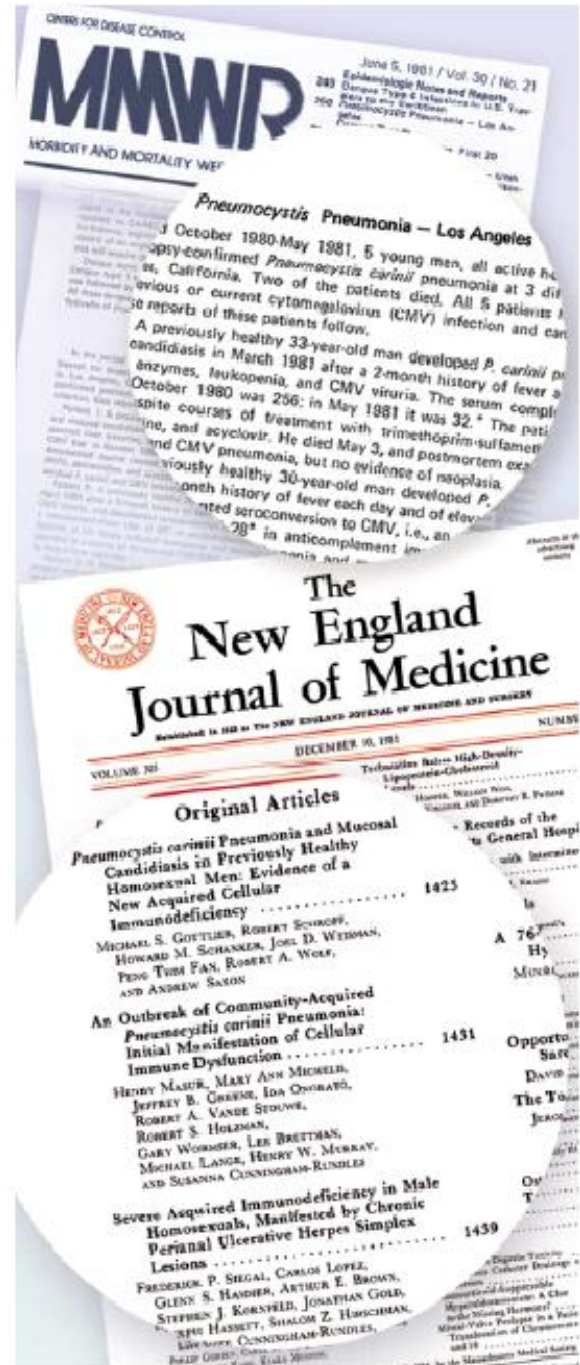


Dalla tragedia al successo della ricerca: l'AIDS

Modena, 9 Ottobre 2013

HIV

- **1978:** casi isolati di sindrome da immunodeficienza negli Usa, Haiti, Africa.
- **1981:** Soggetti omosessuali con sarcoma di Kaposi e rare infezioni, età inferiore ai 60 anni.
- **1982:** CDC stabilisce la definizione di AIDS.
- **1983:** AIDS: è legata alle trasfusioni di sangue, droghe per via IV, infezioni transplacentari.
- **1983-84:** HIV, identificato negli USA e Francia.
- **1984:** Primi casi di AIDS in Africa.
- **1984:** Test anti-HIV.
- **1986:** WHO strategia globale per il controllo dell' AIDS.
- **1997:** inizio dell' HAART



6 ottobre 2008

TECNOLOGIA & SCIENZA

Premiati i due scienziati francesi che hanno isolato il virus dell'Aids e il tedesco per il suo lavoro sul cancro alla cervice

Nobel per la medicina a Montagnier Barré-Sinoussi e Zur Hausen

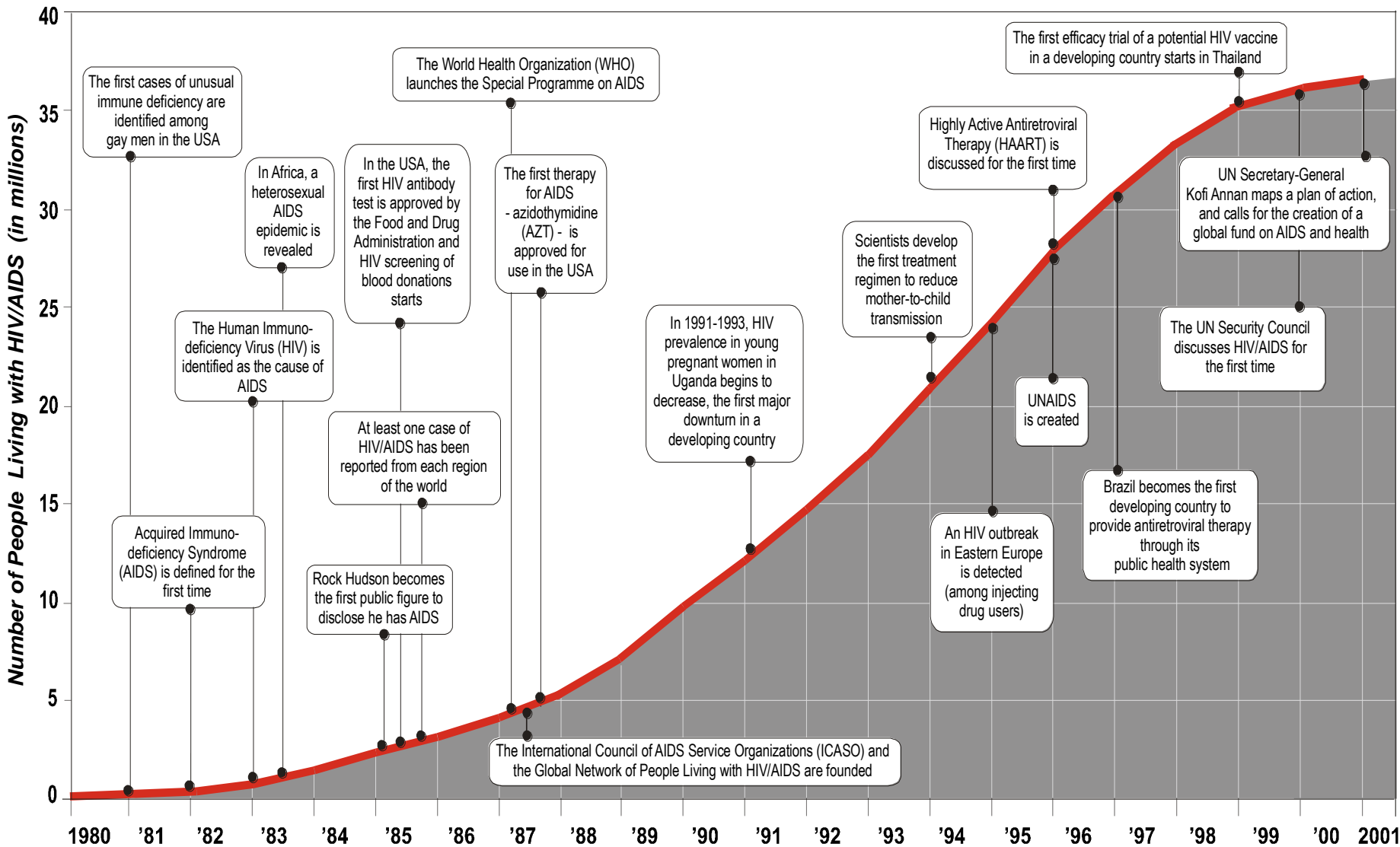


Luc Montagnier, Françoise Barré-Sinoussi e Harald zur Hausen

ROMA - L'Hiv, responsabile del flagello dell'AIDS, e il Papilloma virus, all'origine del tumore della cervice uterina. La scoperta di questi due virus è valsa ai francesi Luc Montagnier e Françoise Barré-Sinoussi e al tedesco Harald zur Hausen il **premio Nobel per la Medicina** edizione 2008. L'istituto svedese ha annunciato da Stoccolma la sua scelta, premiando i tre scienziati europei, fra cui una donna, per le loro scoperte chiave in due campi fondamentali, vere emergenze universali per la salute.

Il premio di 10 milioni di corone svedesi (1,4 milioni di dollari) è andato quindi per metà ad Harald zur Hausen - nato nel 1936, professore all'Università di Dusseldorf ed ex direttore dell'Istituto tedesco per la ricerca sul cancro - per le sue ricerche sulle cause del cancro della cervice uterina, primo tumore riconosciuto dall'Oms come totalmente riconducibile ad una infezione. Per l'altra metà a Françoise Barré-Sinoussi, virologa dell'Istituto Pasteur, nata nel 1947, e a Luc Montagnier, classe 1932, professore emerito e direttore della Fondazione mondiale per la ricerca e prevenzione dell'Aids.

The first 20 years of HIV/AIDS



June 2001

GLOBAL REPORT

Global summary of the AIDS epidemic | 2009

Number of people living with HIV

| | |
|----------------------|--|
| Total | 33.3 million [31.4 million–35.3 million] |
| Adults | 30.8 million [29.2 million–32.6 million] |
| Women | 15.9 million [14.8 million–17.2 million] |
| Children (<15 years) | 2.5 million [1.6 million–3.4 million] |

People newly infected with HIV in 2009

| | |
|----------------------|---------------------------------------|
| Total | 2.6 million [2.3 million–2.8 million] |
| Adults | 2.2 million [2.0 million–2.4 million] |
| Children (<15 years) | 370 000 [230 000–510 000] |

AIDS deaths in 2009

| | |
|----------------------|---------------------------------------|
| Total | 1.8 million [1.6 million–2.1 million] |
| Adults | 1.6 million [1.4 million–1.8 million] |
| Children (<15 years) | 260 000 [150 000–360 000] |



World Health Organization



GLOBAL REPORT

Global estimates for adults and children | 2009

| | |
|-----------------------------------|---|
| People living with HIV | 33.3 million [31.4 million – 35.3 million] |
| New HIV infections in 2009 | 2.6 million [2.3 million – 2.8 million] |
| Deaths due to AIDS in 2009 | 1.8 million [1.6 million – 2.1 million] |

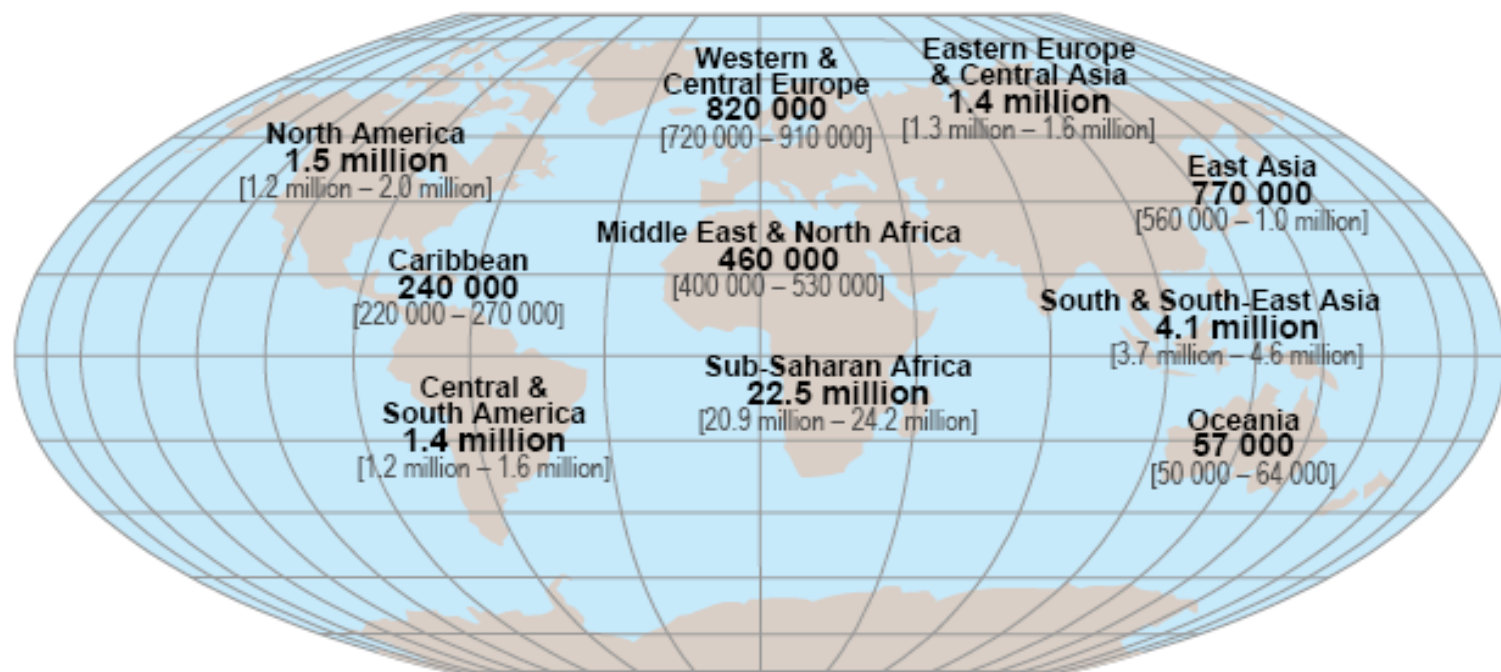


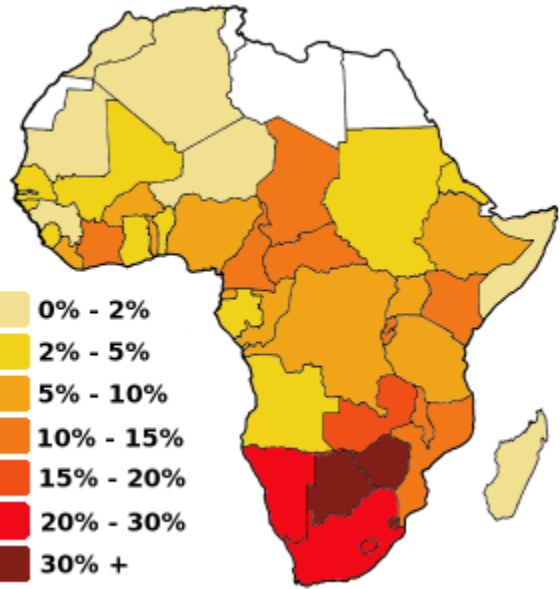
World Health
Organization



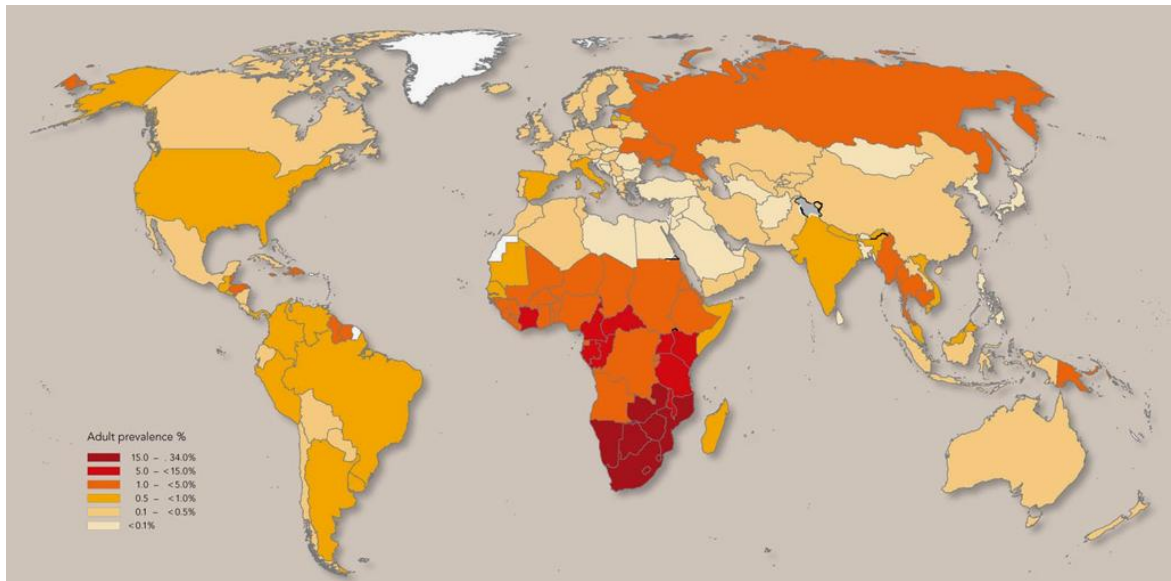
GLOBAL REPORT

Adults and children estimated to be living with HIV | 2009





2002

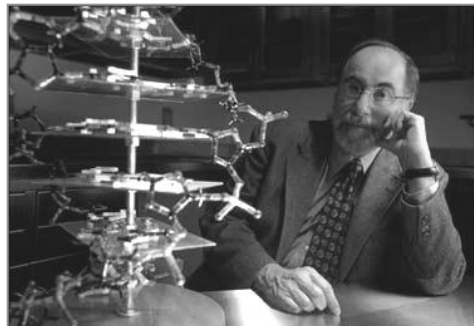


2006

Retrovirus

I retrovirus:

- ✓ codificano per una DNA polimerasi RNA-dipendente o trascrittasi Inversa (reverse transcriptase, RT)
- ✓ si replicano attraverso un intermedio a DNA (provirus)



1970

D. Baltimore e H. Temin: scoperta della trascrittasi inversa

1975

Baltimore, Temin, Dulbecco: premio Nobel

Classificazione dei Retrovirus

3 sottofamiglie:

1. **Oncovirinae** B (MMTV), C (HTLV-1, -2 -5) e D

(HTLV-1, leucemia acuta a cellule T nell' adulto, mielopatia associata all' HTLV-1)



→ HTLV-2 (leucemia a cellule capellute)

2. **Lentivirinae (HIV-1, HIV-2)**

3. **Spumavirinae (Human foamy virus)**

Epidemiologia: origine

- HIV è entrato nella popolazione umana dai primati da 30 a 100 anni fa, epoca in cui in lontane regioni dell'Africa subsahariana, si sono differenziati rispettivamente da SIV cpz (scimmia *Pan troglodytes troglodytes*) e da SIV sm (Sooty mangabeys) i tre principali gruppi di HIV-1 (M,O, ed N) e HIV-2
- La prima documentata evidenza di infezione da HIV deriva dal sangue di un africano (Congo) prelevato nel 1959



Diffusione di HIV

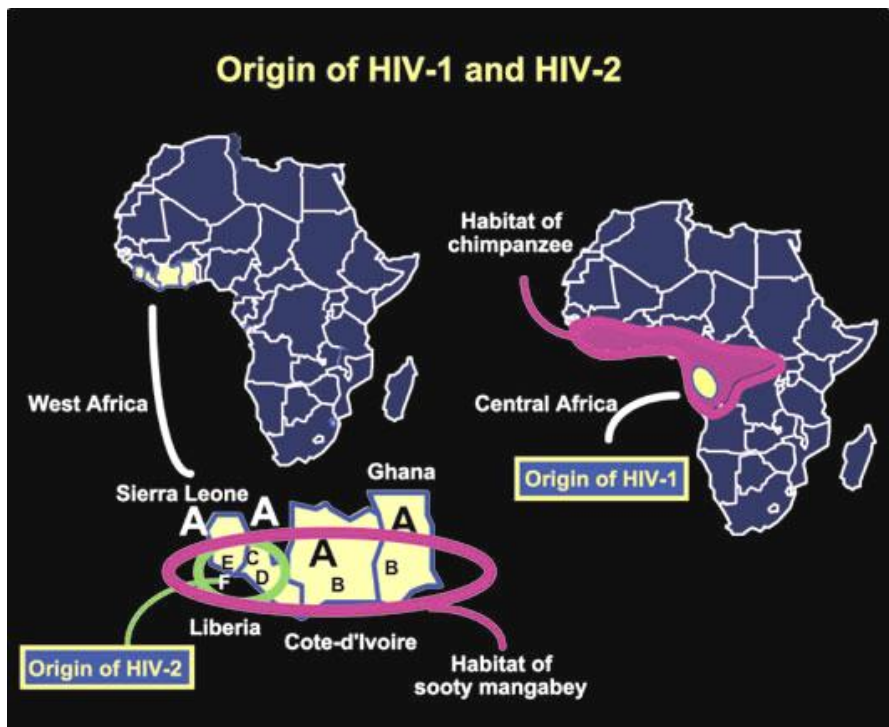
Sono state formulate due teorie per chiarire il rapido diffondersi dell' epidemia umana negli ultimi 30 anni:

- 1) Hooper: cellule di rene di scimpanzè coltivate in Africa per il vaccino orale anti-polio potrebbero essere state contaminate dal virus SIV \Rightarrow trasmesso ai vaccinati negli Anni '50. Tuttavia non è stata trovata nessuna traccia di DNA di scimpanzè nei campioni esaminati (inoltre SIV si replica male nelle cellule di rene di scimmia).

Diffusione di HIV

- 2) Marx: uso di siringhe non sterilizzate negli ultimi 60 anni ha contribuito alla diffusione del virus già presente nella popolazione africana da molti anni
- Deforestazione, incremento della caccia ⇒ esposizione dell'uomo a SIV
- Iniezioni non sterili e trasfusioni durante il periodo coloniale avrebbero favorito la diffusione, adattamento all'uomo e fenomeni di ricombinazione

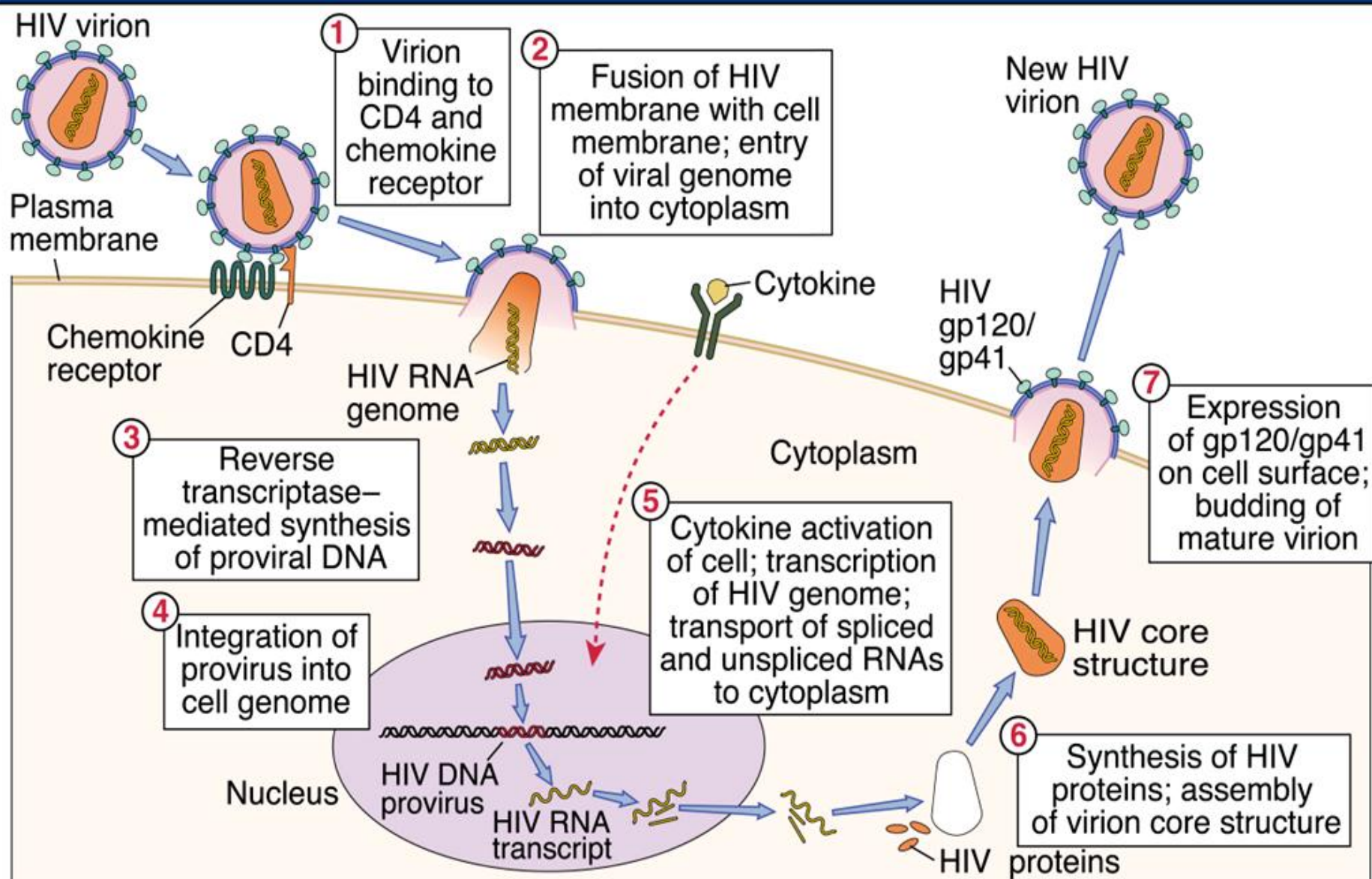
HIV: tipi e sottotipi

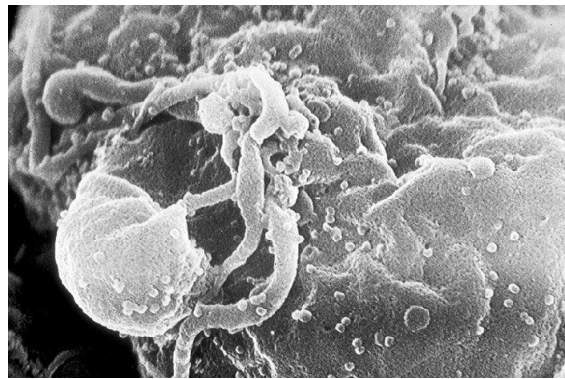
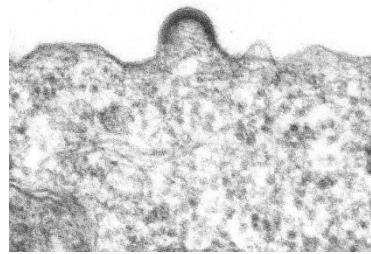
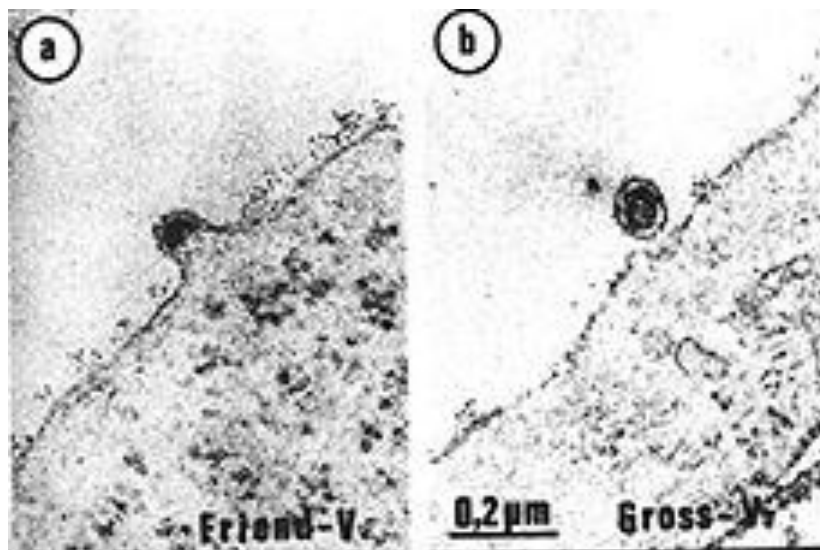
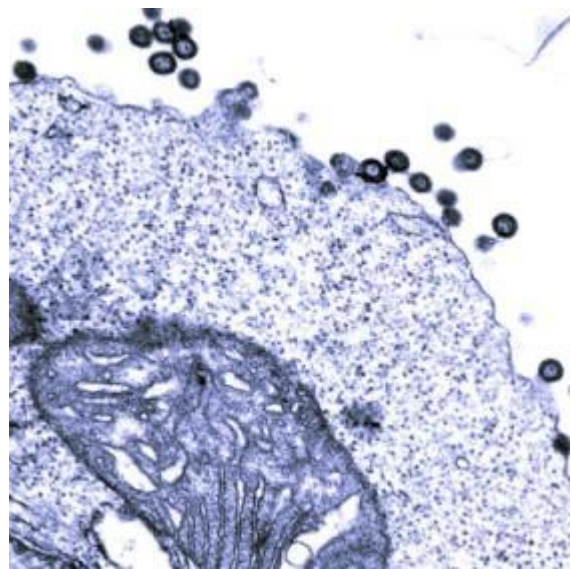


Distribution of HIV subtypes

Major subtypes in capitals

HIV Life Cycle





Decorso e stadi della infezione da HIV

Infezione acuta

- Durata 3-6 mesi
- conta T CD4+ : 1000 / mm³

Latenza clinica:

- 1-10 anni

LAS (linfoadenopatia sistemica)

o **PGL** (persistent generalized lymphadenopathy)

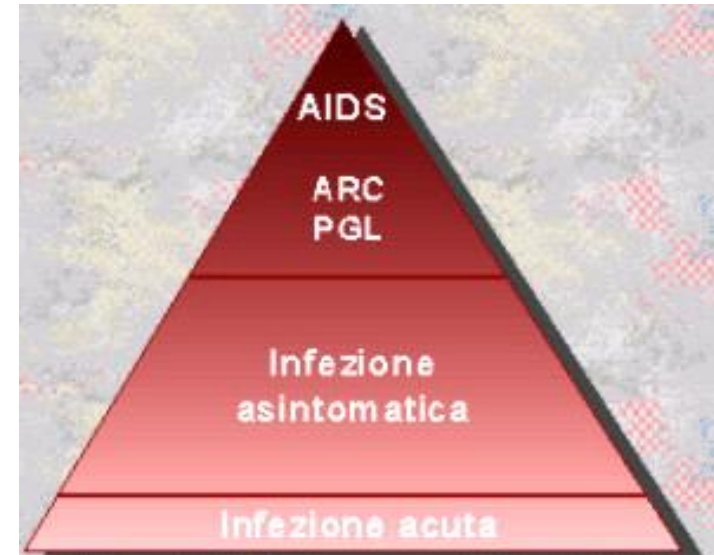
- conta T CD4+ : 600 /mm³

ARC (AIDS-related complex, complesso AIDS-correlato))

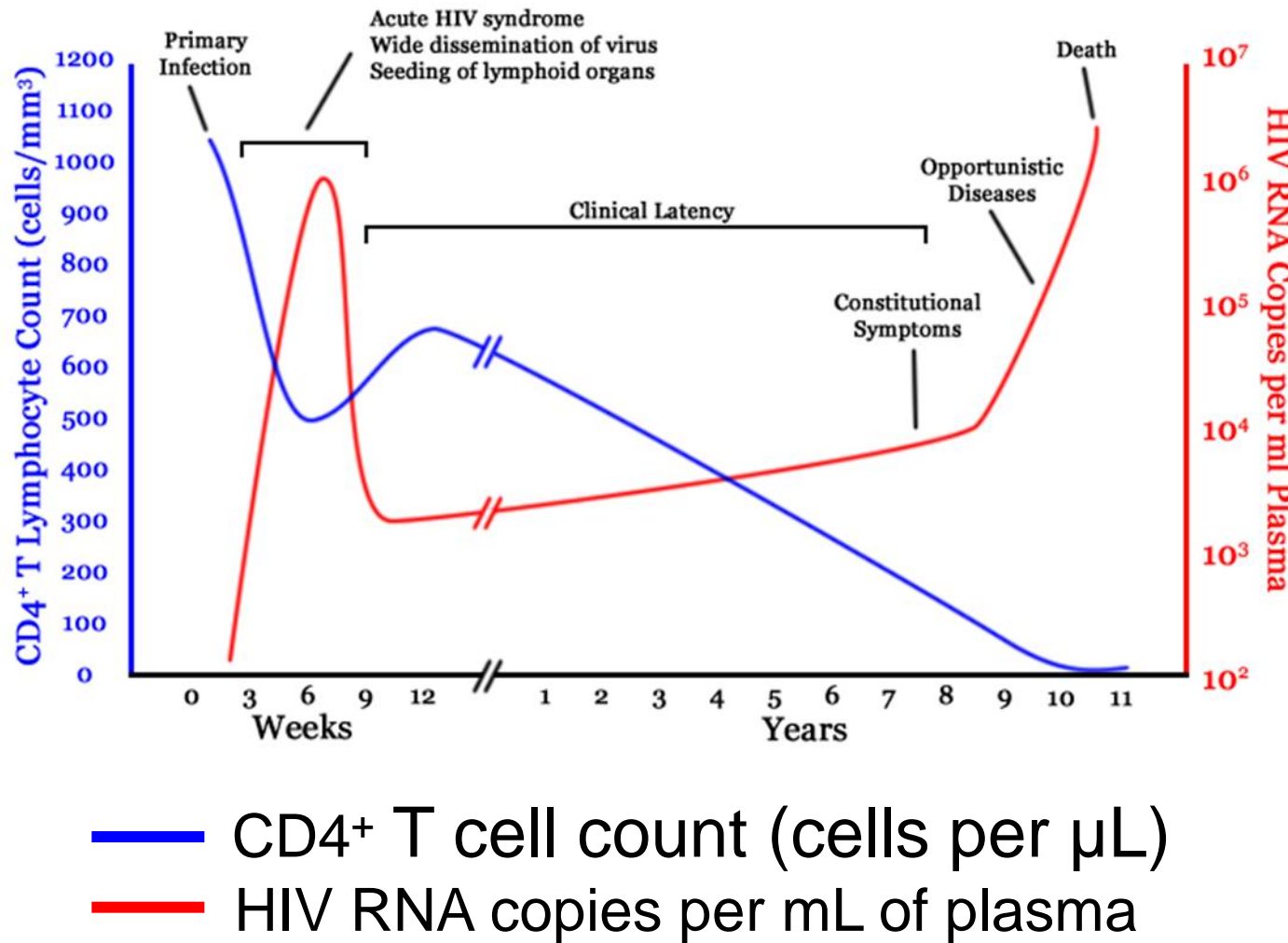
- conta T CD4+ : 400 /mm³

AIDS conclamato

- conta T CD4+ : <150-200 /mm³



stadi della infezione da HIV



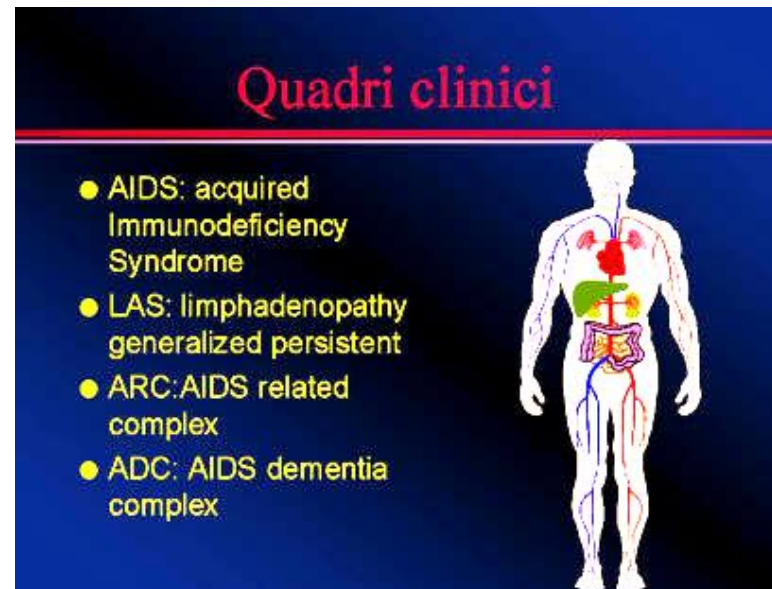
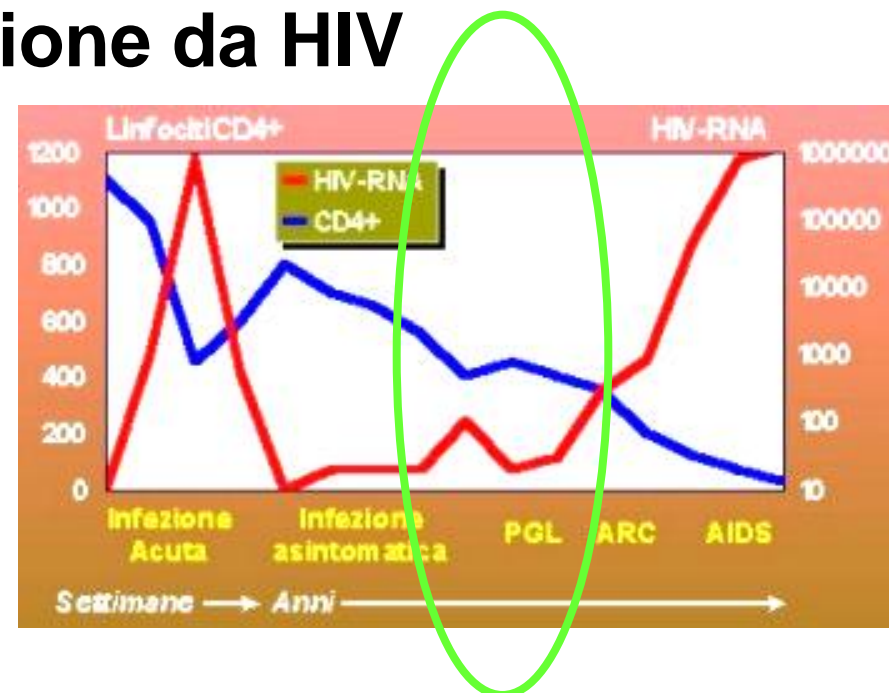
Stadi della infezione da HIV

Stadio sintomatico

- sintomi simil-influenzali e simil-mononucleosici.
- linfoadenopatia della durata di 3 mesi implicante 2 stazioni linfonodali extra-inguinali

Sono presenti per un tempo superiore ai 3 mesi:

- sudorazione notturna
- linfoadenopatia
- calo ponderale superiore al 10%
- febbre, diarrea, affaticamento, astenia.
- diminuzione delle T helper
- aumento delle globuline sieriche
- anergia, leucopenia, anemia.



AIDS

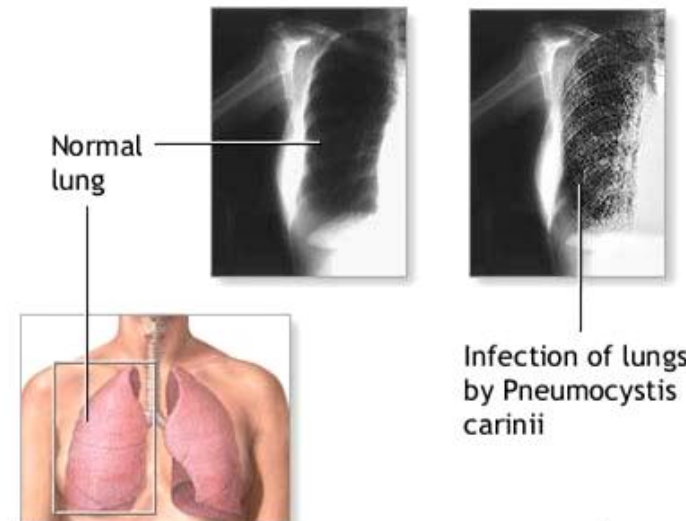
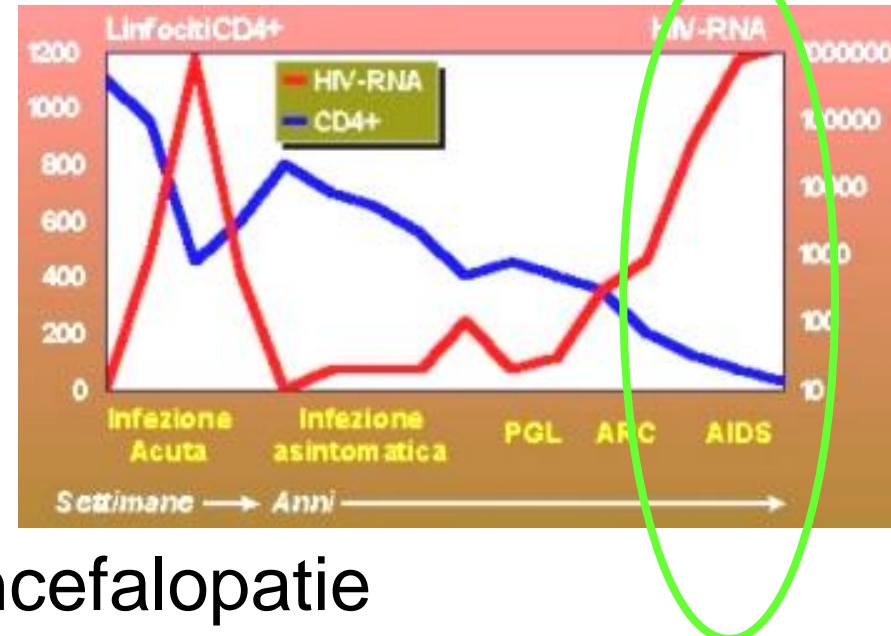
Criteri clinici:

- Presenza di 1 o più infezioni opportunistiche, segno di immunodeficienza
- Encefalopatie: la TAC di pazienti con HIV mostra encefalopatie (emisferi cerebrali raggrinziti)

Sindrome di indebolimento

Sudorazione notturna

Linfonodi cervicali ingrossati



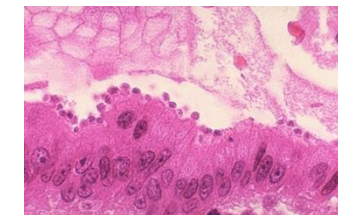
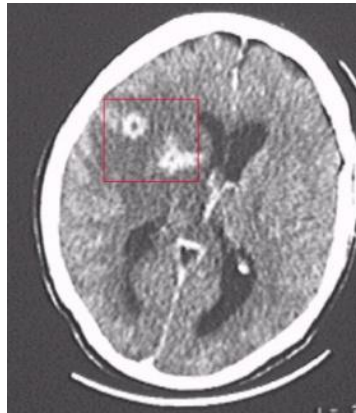
Sarcoma di Kaposi

Polmonite da *Pneumocystis jirovecii*

AIDS: infezioni opportunistiche

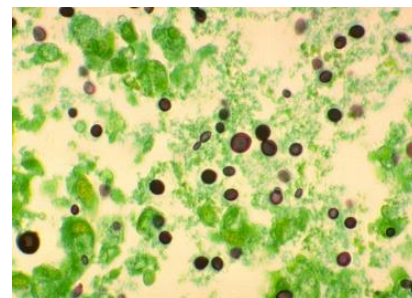
Protozoarie

- Toxoplasmosi cerebrale
- Criptosporidiosi con diarrea
- Isosporiasi con diarrea



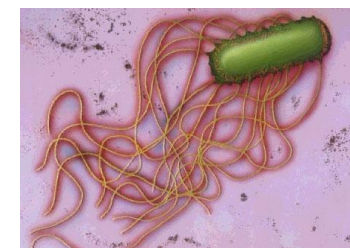
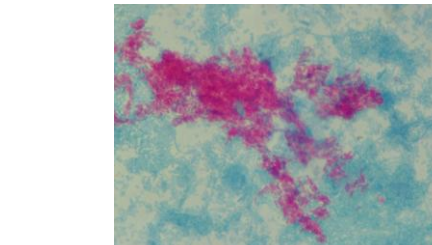
Fungine

- Esofagite da *Candida*
- Criptococcosi
- Histoplasmosi
- Coccidiomicosi



Virali

- CMV
- HSV
- PML
- EBV: leucoplakia orale capelluta



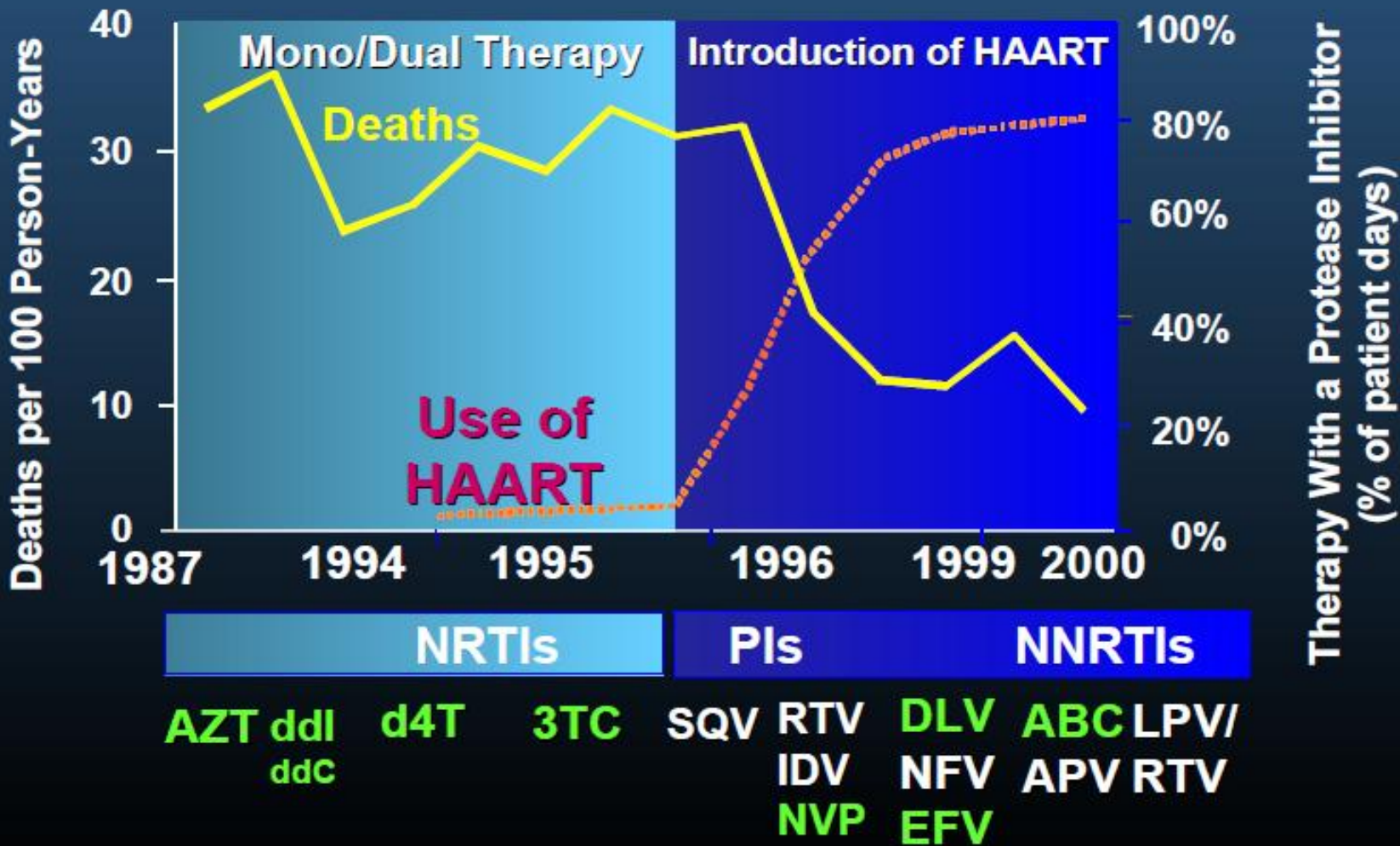
Batteriche

- MAC
- setticemia da salmonella
- Infezioni piogeniche

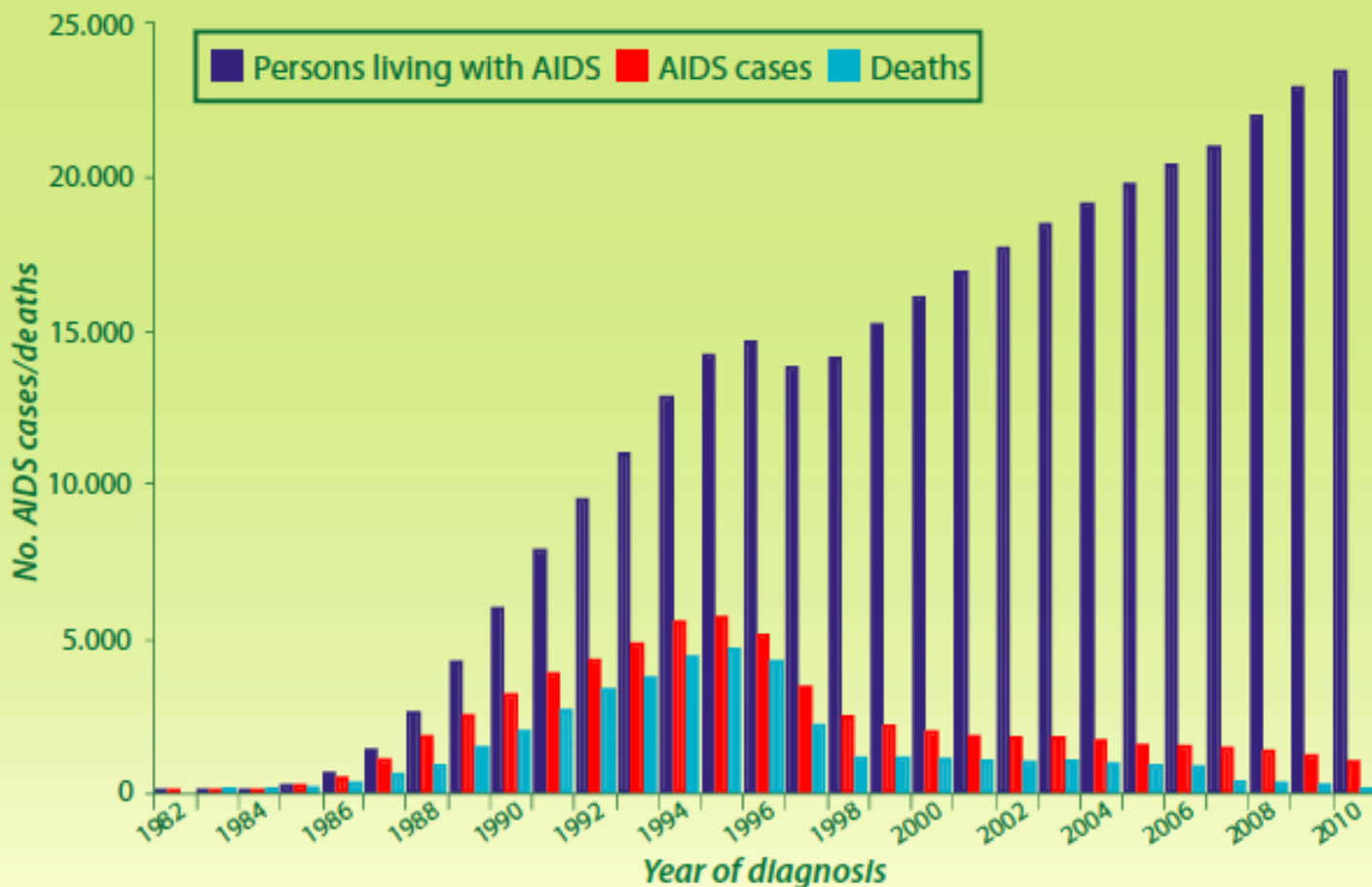
Il personale che lavorava nei reparti di Malattie Infettive a metà degli anni 90 ha avuto il privilegio di assistere ad un miracolo clinico

Abbiamo raggiunto traguardi
impensabili

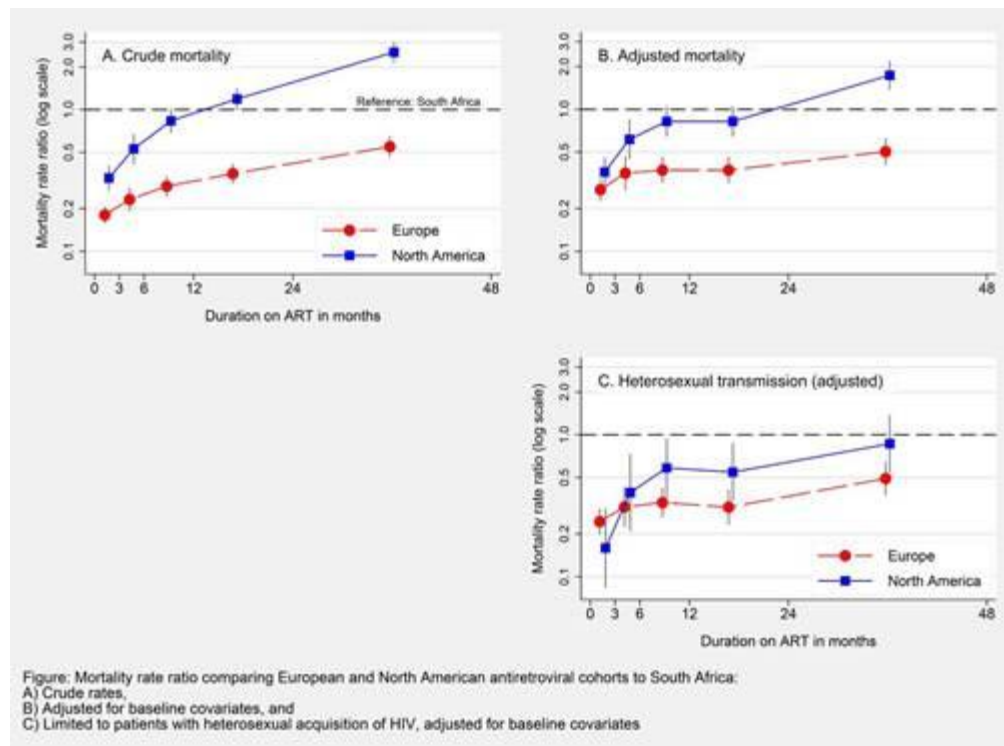
Decline in Mortality in USA With Use of Protease Inhibitors



Diagnosi di AIDS, morti per AIDS e persone viventi con l'infezione da HIV



Mortalità dopo l'inizio della ART in adulti in 3 Continenti

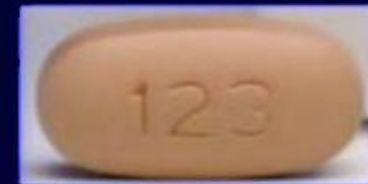


Conclusions: After accounting for under-ascertainment of mortality, with increasing duration on ART, mortality in RSA declines rapidly to levels approaching or below that described in participating NA cohorts, while substantially narrowing the differential with the EUR cohorts.

Approved single tablet regimens

TDF/FTC/EFV (2006)

7 years: *Cassetti IAS 2008, abstract # TUPE0057*



TDF/FTC/RPV (2011)

96 weeks: *Cohen AIDS 2012 (epub)*



TDF/FTC/EVG/c (2012)

96 weeks: *Rockstroh Glasgow 2012 #O424 Zolopa CROI 2013 #553*



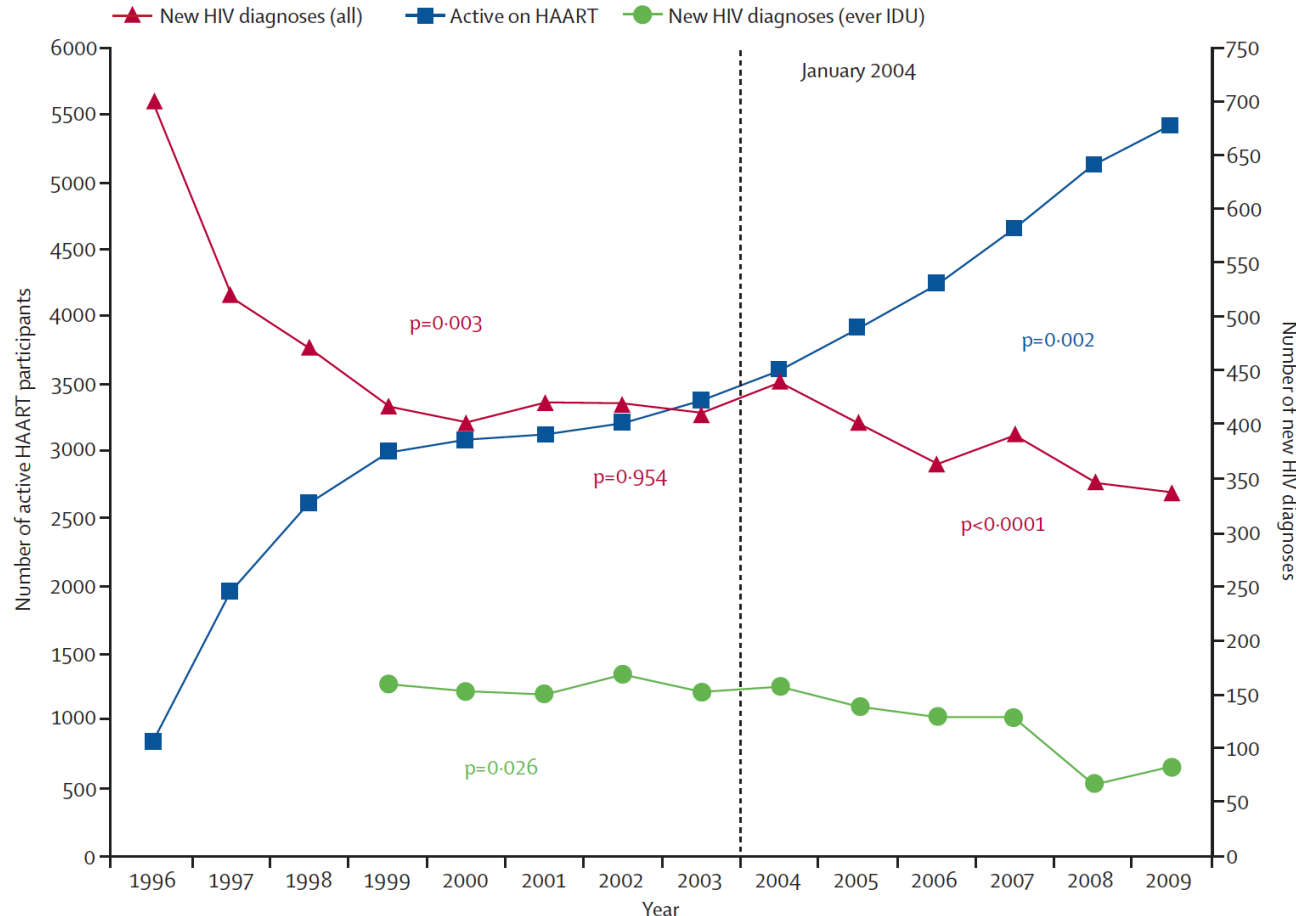


HPTN 052 : Trasmissione di HIV Trattamento precoce versus trattamento tardivo

- 39 casi di trasmissione
- 28 correlati al partner HIV – 1 nel gruppo con trattamento precoce – 27 in quello differito
- p= 0.0001

ART riduce del 96% il rischio di trasmissione

Number of active HAART participants and number of new HIV diagnoses per year in British Columbia, Canada, 1996–2009





The NEW ENGLAND JOURNAL of MEDICINE

[HOME](#)[ARTICLES](#) ▾[ISSUES](#) ▾[SPECIALTIES & TOPICS](#) ▾[FOR AUTHORS](#) ▾

Keyword, Title, /

ORIGINAL ARTICLE**Brief Report**

Long-Term Control of HIV by CCR5 Delta32/Delta32 Stem-Cell Transplantation

Gero Hütter, M.D., Daniel Nowak, M.D., Maximilian Mossner, B.S., Susanne Ganepola, M.D., Arne Müßig, M.D., Kristina Allers, Ph.D., Thomas Schneider, M.D., Ph.D., Jörg Hofmann, Ph.D., Claudia Kücherer, M.D., Olga Blau, M.D., Igor W. Blau, M.D., Wolf K. Hofmann, M.D., and Eckhard Thiel, M.D.

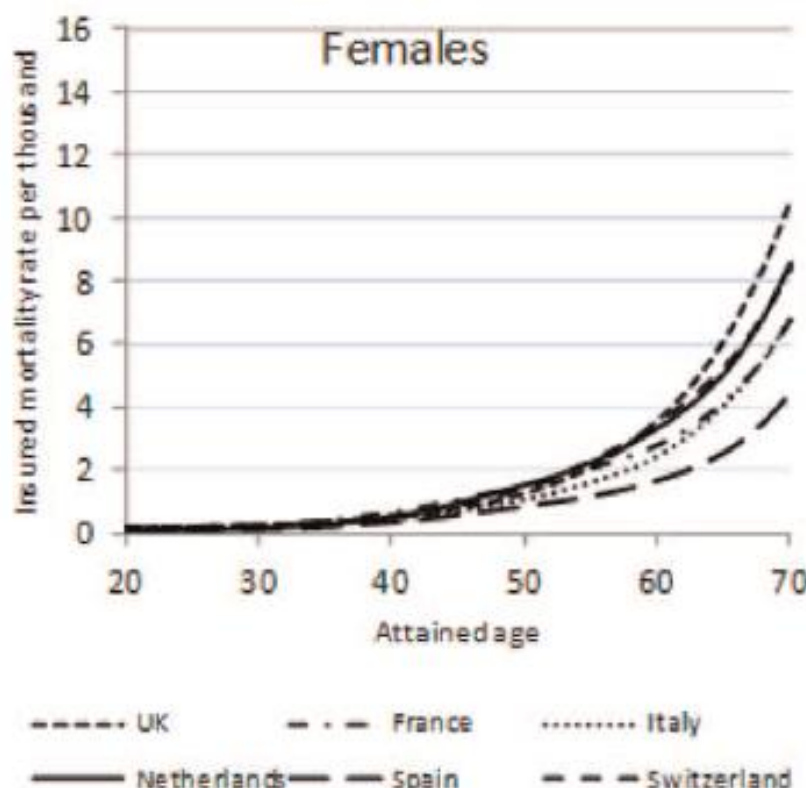
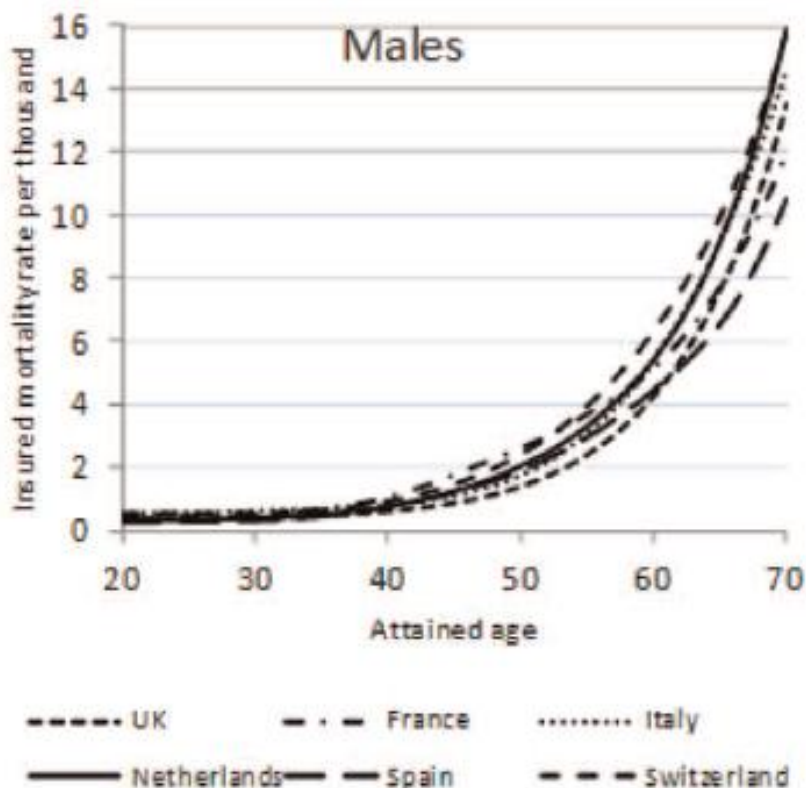
N Engl J Med 2009; 360:692-698 | February 12, 2009

Therapeutic Immunization with HIV-1 Tat Reduces Immune Activation and Loss of Regulatory T-Cells and Improves Immune Function in Subjects on HAART

Barbara Ensoli^{1*}, Stefania Bellino¹, Antonella Tripiciano^{1,2}, Olimpia Longo¹, Vittorio Francavilla^{1,2}, Simone Marcotullio¹, Aurelio Cafaro¹, Orietta Picconi¹, Giovanni Paniccia^{1,2}, Arianna Scoglio^{1,2}, Angela Arancio², Cristina Ariola², Maria J. Ruiz Alvarez^{1,2}, Massimo Campagna², Donato Scaramuzzi², Cristina Iori², Roberto Esposito³, Cristina Mussini³, Florio Ghinelli⁴, Laura Sighinolfi⁴, Guido Palamara⁵, Alessandra Latini⁵, Gioacchino Angarano⁶, Nicoletta Ladisa⁶, Fabrizio Soscia⁷, Vito S. Mercurio⁷, Adriano Lazzarin⁸, Giuseppe Tambussi⁸, Raffaele Visintini⁸, Francesco Mazzotta⁹, Massimo Di Pietro⁹, Massimo Galli¹⁰, Stefano Rusconi¹⁰, Giampiero Carosi¹¹, Carlo Torti¹¹, Giovanni Di Perri¹², Stefano Bonora¹², Fabrizio Ensoli², Enrico Garaci¹³

1 National AIDS Center, Istituto Superiore di Sanità, Rome, Italy, **2** Core Laboratory of Virology and Immunology, San Gallicano Hospital, "Istituti Fisioterapici Ospetalieri", Rome, Italy, **3** Division of Infectious Diseases, University Policlinic of Modena, Modena, Italy, **4** Unit of Infectious Diseases, University Hospital of Ferrara, Ferrara, Italy, **5** Department of Infectious Dermatology, San Gallicano Hospital, Rome, Italy, **6** Division of Infectious Diseases, University of Bari, Policlinic Hospital, Bari, Italy, **7** Department of Infectious Diseases, S. Maria Goretti Hospital, Latina, Italy, **8** Division of Infectious Diseases, S. Raffaele Hospital, Milan, Italy, **9** Unit of Infectious Diseases, S.M. Annunziata Hospital, Florence, Italy, **10** Institute of Tropical and Infectious Diseases, University of Milan L. Sacco Hospital, Milan, Italy, **11** Division of Tropical and Infectious Diseases, Spedali Civili, Brescia, Italy, **12** Clinic of Infectious Diseases, Amedeo di Savoia Hospital, Turin, Italy, **13** Istituto Superiore di Sanità, Rome, Italy

Insurability of HIV positive people treated with antiretroviral therapy in Europe: collaborative analysis of HIV cohort studies



CONCLUSIONI DEGLI AUTORI

La mancanza di prodotti assicurativi non è più giustificata in quanto l'eccesso di mortalità dei soggetti con infezione da HIV è comparabile a quella di molti altri gruppi che vengono invece assicurati quali i diabetici e i sopravvissuti al cancro. Sulla base dei dati l'assicurazione sulla vita può essere estesa almeno a 20 anni e questo aiuterà nell'accensione dei mutui

Abbiamo risolto tutti i problemi?

Livello di CD4 all'inizio della terapia

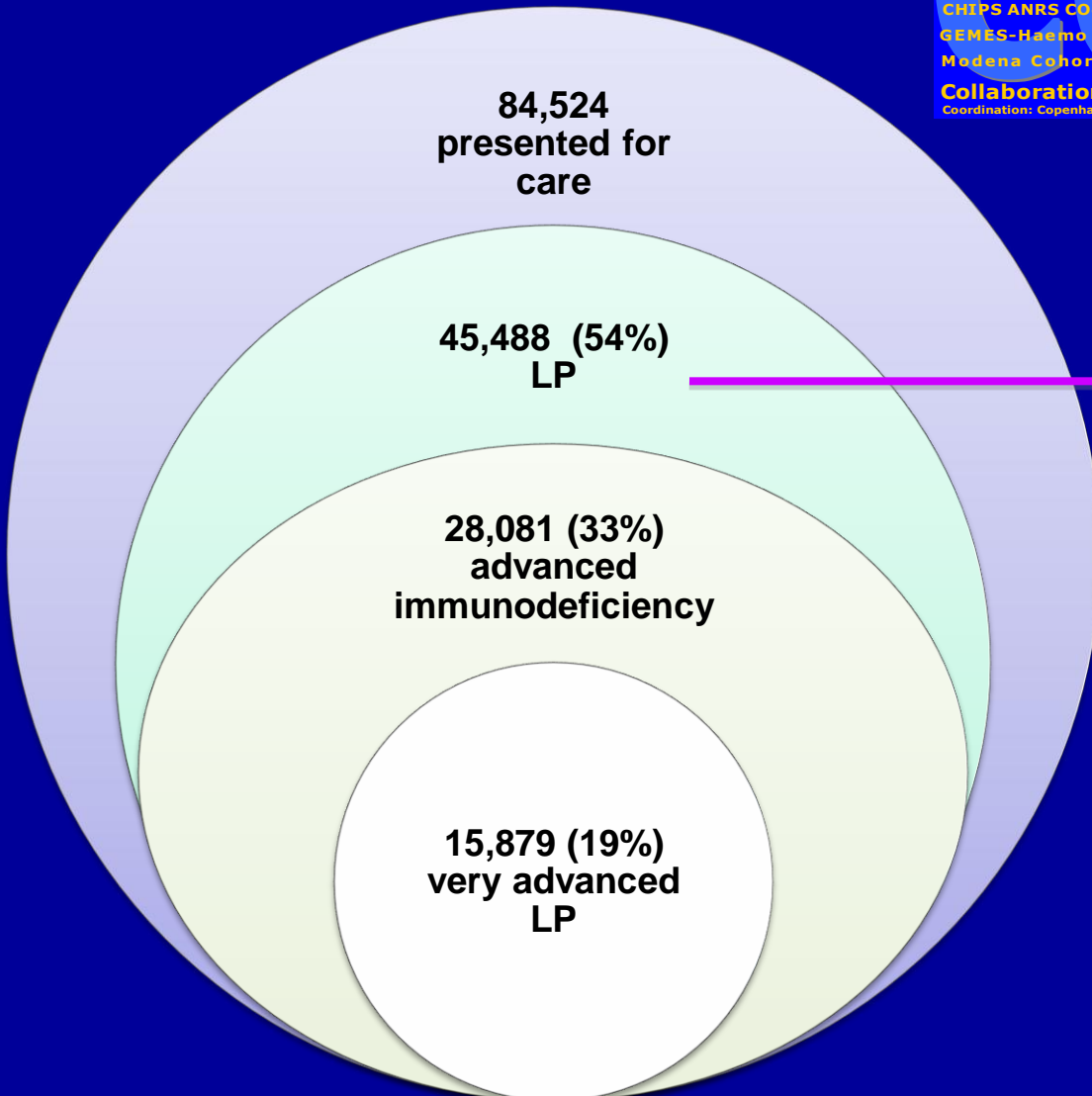
- CD4+ cell count at start of ART (cells/mm³), 2009^[1]



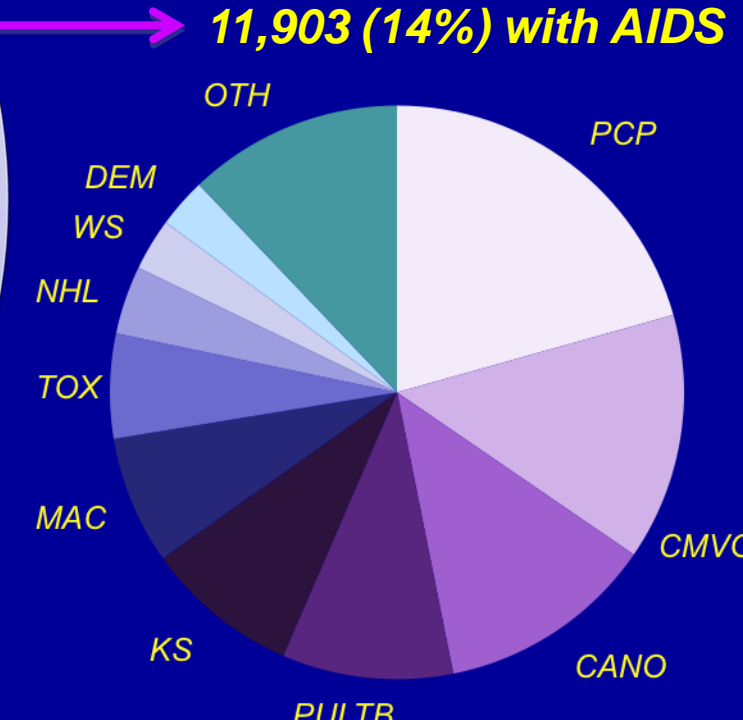
- In San Francisco study, overall trends of starting ART at higher CD4+ counts, but pts initiating ART at CD4+ counts > 350 cells/mm³ significantly more likely to be white, older, MSM, nonpoor, and diagnosed by private provider^[2]

1. Mugglin C, et al. CROI 2012. Abstract 100. 2. Truong HH, et al. CROI 2012. Abstract 139.

LP across Europe :



IMIT AMACS ECS-Mothers & ECS-Infants NSHPC-Mothers & NHPS-Infants PISCIS
 KOMPNET CASCADE ANRS CO2 SEROCO Frankfurt-HIV Cohort-Study San Raffaele
 ANRS CO1/CO10 EPF UK CHIC Athena ITLR-Mothers & ITLR-Infants Swiss HIV Cohort Study
 ICC ANRS CO6 PRIMO Co-RIS MOCHIV-Mothers & MoCHIV-Infants The Italian MASTER Cohort
 CHIPS ANRS CO4 French Hospital's Database on HIV HIV-MIP-Mothers & HIV-MIP-Infants
 GEMES-Haemo ANRS CO3 AQUITAIN EuroSIDA Madrid Cohort HIV Children VACH
 Modena Cohort Study Dánish HIV Study ANRS CO8 COPILOTE ICONA St. Pierre
Collaboration of Observational HIV Epidemiological Research Europe
 Coordination: Copenhagen HIV Programme (CHIP) & Institut de Santé Publique, d'Epidémiologie et de Développement (ISPED)

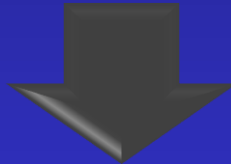


LP : CD4 < 350/AIDS; advanced immunodeficiency : CD4 < 200/AIDS;
 very advanced LP : CD4 < 50/AIDS

IAC Washington 2012

Perchè I pazienti arrivano alla diagnosi tardivamente?

- Barriere nei confronti del test a livello del paziente
- Barriere nei confronti del test a livello del medico



Perdita di opportunità

Impact of late diagnosis and treatment on life expectancy in people with HIV-1: UK Collaborative HIV Cohort (UK CHIC) Study



OPEN ACCESS

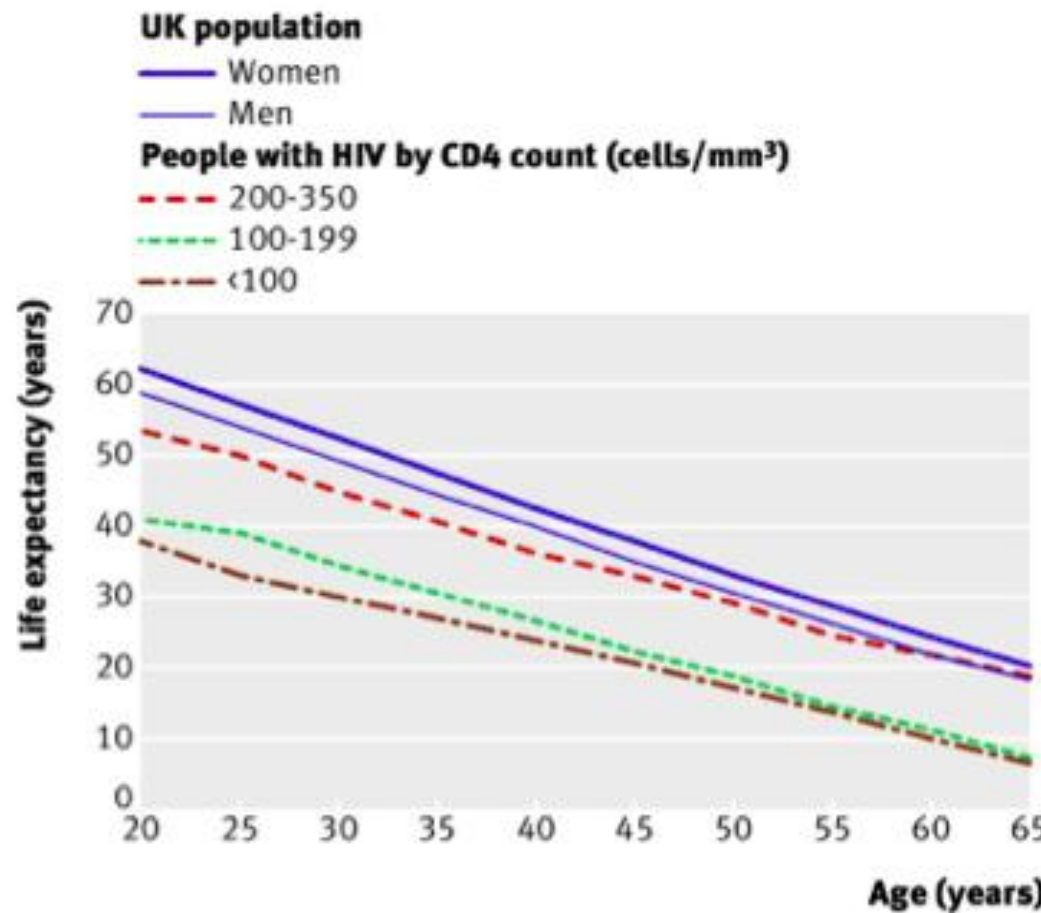
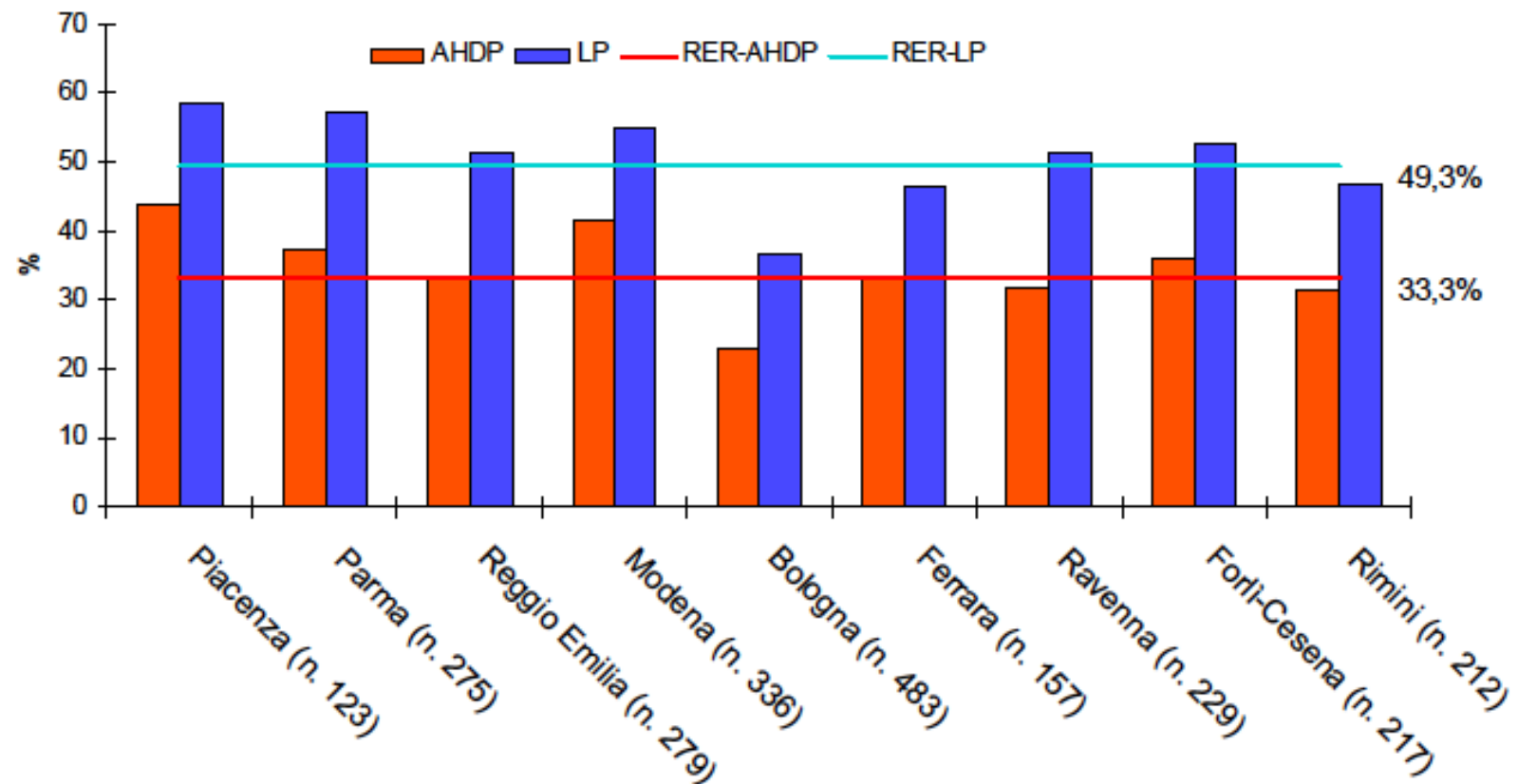


Figura 40 – Late Presenters 200-350 per provincia di residenza, Emilia-Romagna, 2006-2011. (valori percentuali)



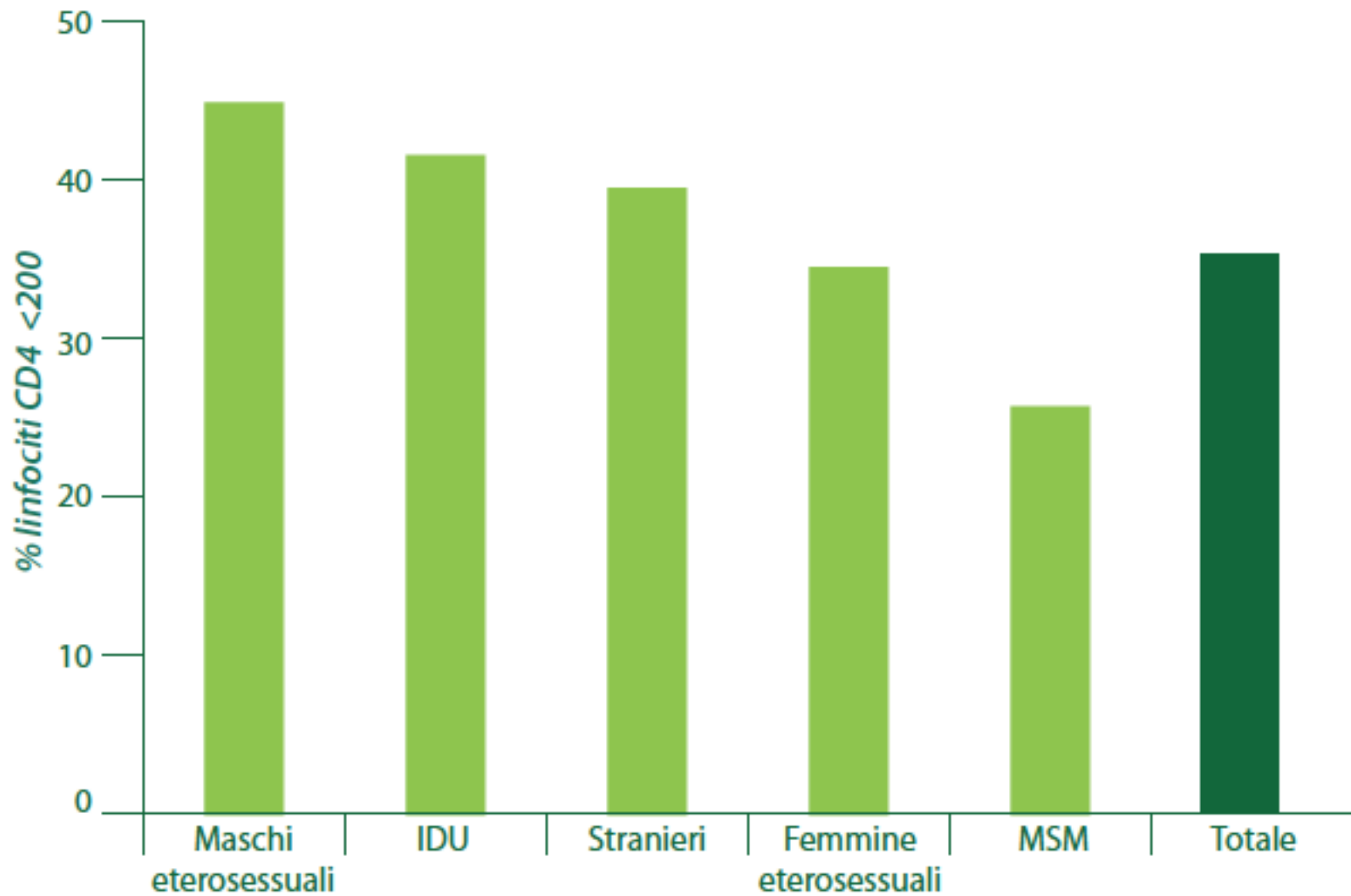
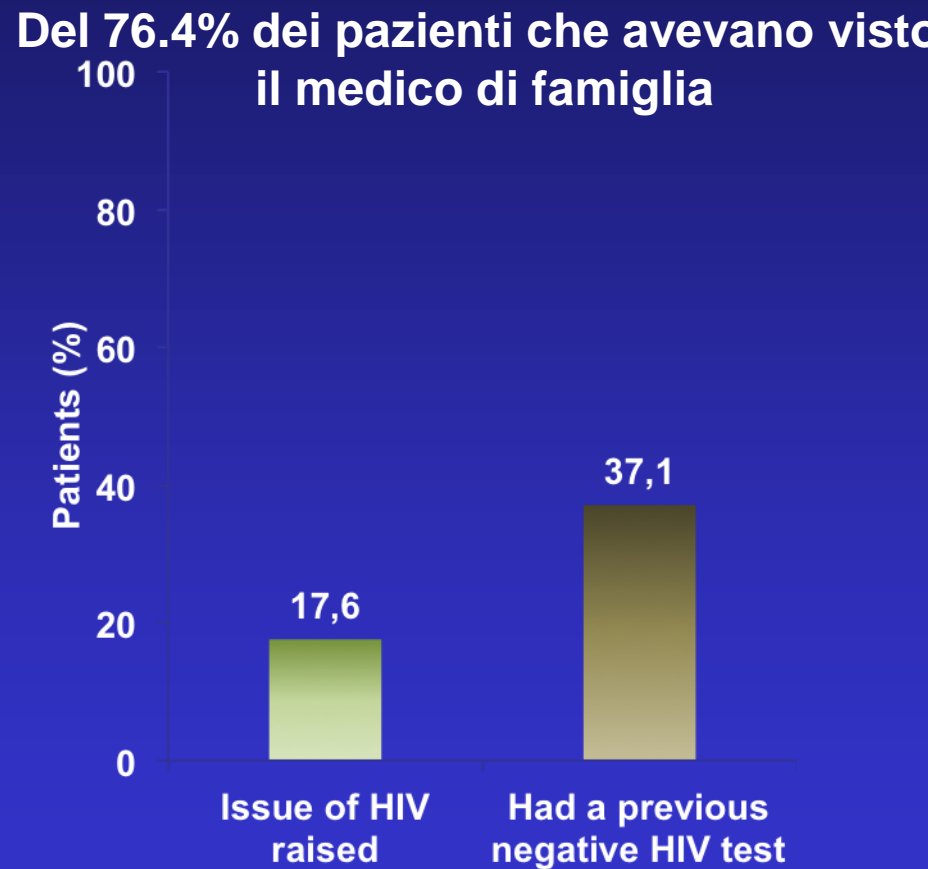
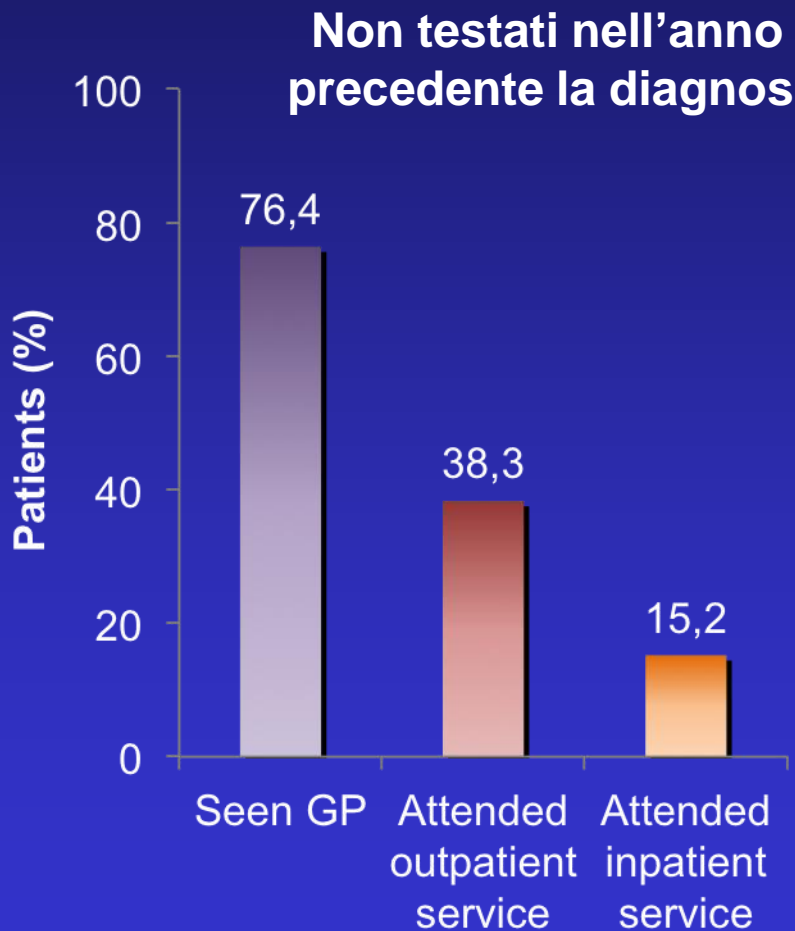


Figura 6 - Caratteristiche delle persone con una nuova diagnosi di infezione da HIV e CD4 <200 cell/ μ L (Anno 2011)

Bollettino COA 2012

Occasioni perse per i medici

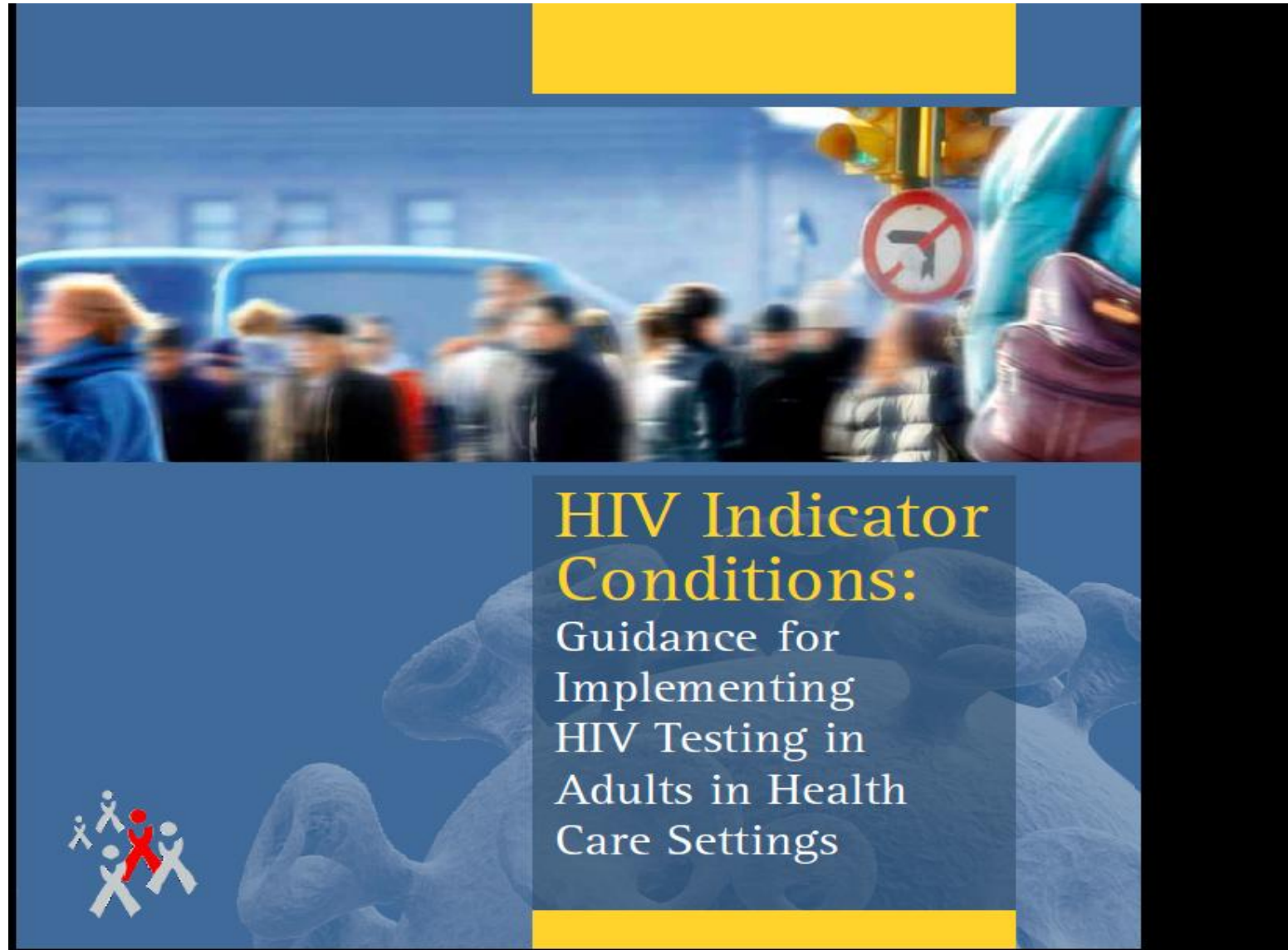
Survey population: 263 Africans in London diagnosed as HIV-positive



Adapted from Burns FM et al. AIDS 2008;22:115-22

HIV in Europe

www.hiveurope.eu



October 26, 2012.

Condizioni Indice (IC)

Malattie Sessualmente Trasmesse (MST)

Epatitis B e C

Linfoma

Displasia anale o della cervice uterina

Piastrinopenia o neutropenia per >4 settimane

Herpes zoster <65 anni

Dermatite seborroica o esantema

Sindrome simil-mononucleosica

**BISOGNA FACILITARE
L'ACCESSO AL TEST**

Uscire dall'ospedale ed effettuare il test rapido





Proteggi l'amore

Aids e non solo

TEST DAYS. Aids, cosa fai per te stesso

e per gli altri? Fa il test!

Test
gratuito per
l'infezione HIV
counselling e informazioni
per le malattie trasmesse sessualmente
c/o l'**INFORMAGIOVANI** in piazza Grande, 17

I quattro sabati in cui si terrà l'iniziativa sono:

18 maggio ore 17.00 - 19.00

14 settembre ore 17.00 - 19.00

30 novembre ore 17.00 - 19.00

15 febbraio 2014 ore 17.00 - 19.00

È una iniziativa dell'Azienda Usl di Modena,
Azienda Ospedaliero - Universitaria di Modena e Reggio Emilia
e Comune di Modena, assieme alle Associazioni di volontariato



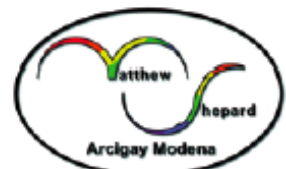
SERVIZIO SANITARIO REGIONALE
EMILIA-ROMAGNA
Azienda Ospedaliero - Universitaria di Modena
Policlinico



UNIVERSITÀ DEGLI STUDI
DI MODENA E REGGIO EMILIA



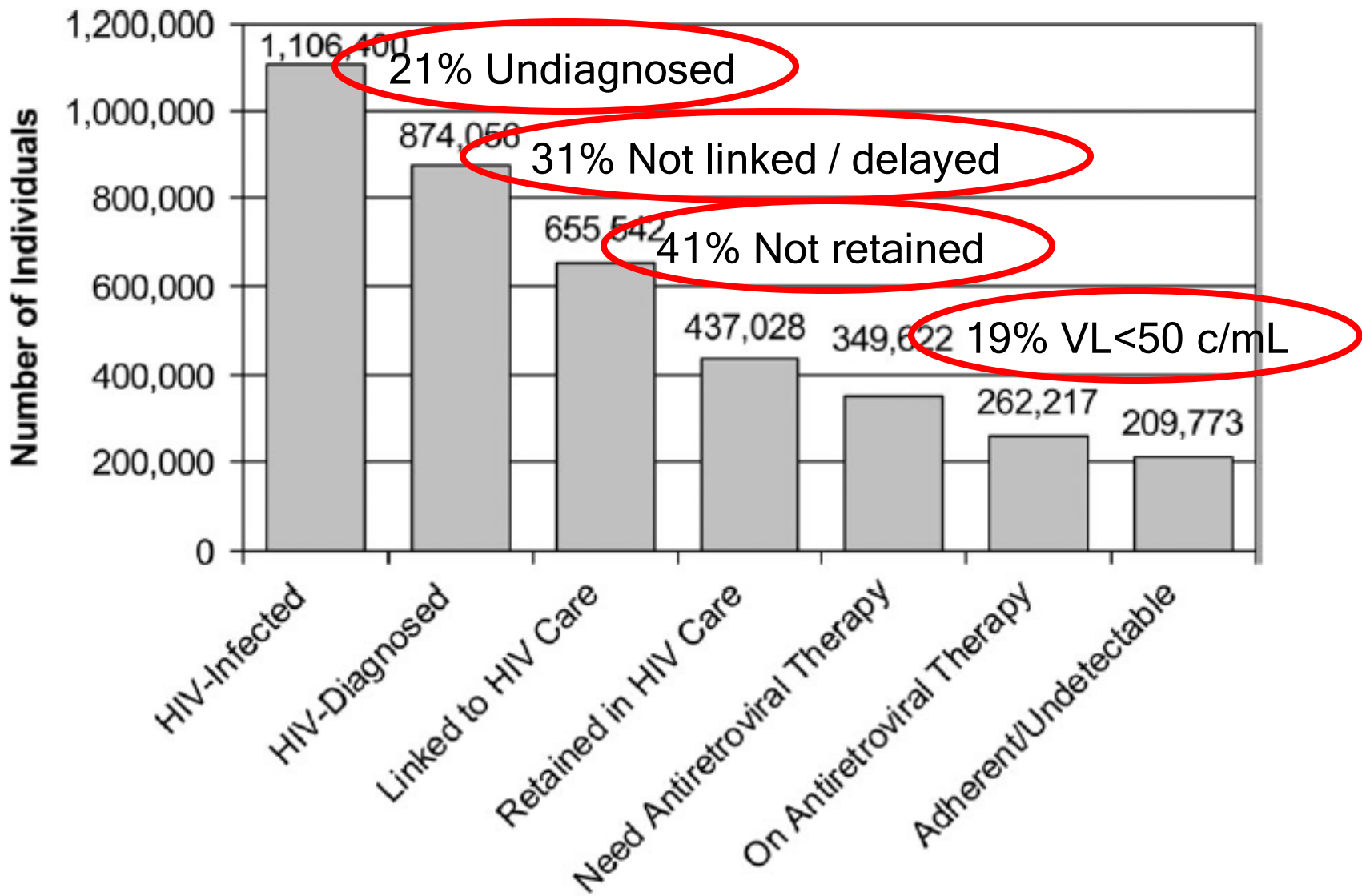
Comune di Modena



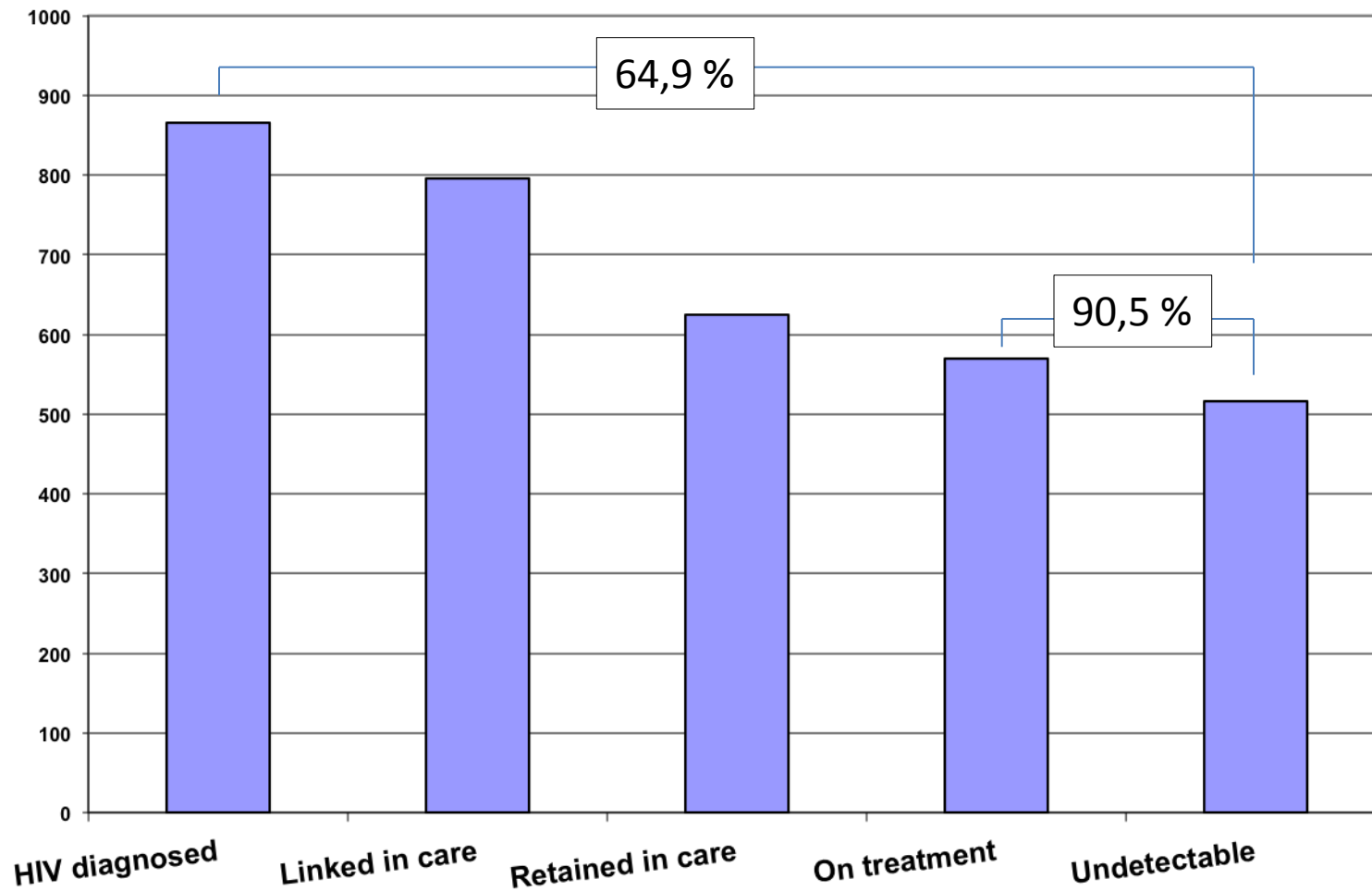
WWW.ARCIGAYMODENA.ORG

**BISOGNA MIGLIORARE LA
CONTINUITA' DI CURA**

The “CASCADE”



POTREBBE ESSERE CORRELATO AL SISTEMA SANITARIO AMERICANO?



MODENA COHORT poster #105

Caratteristiche dei pazienti persi al follow-up a Modena ad Ottobre 2012

| | Mean (SD) or n (%) | | | Mean (SD) or n (%) |
|---------------------------|--------------------|--|--|---------------------|
| Gender | | | | |
| Women | 84 (28.97%) | | On therapy | 133 (45.86%) |
| Men | 206 (71.03%) | | Cumulative months of therapy at last visit, median (IQR) | 43.7 (18.5 – 105.3) |
| Age at last visit | 41 | | HIV Viral Load undetectable at last visit | 77 (57.89%) |
| Age at diagnosis | 34 | | CD4+ cell count at last visit | |
| CDC C missing data | 50 (17.24%) | | ≤100 | 16 (5.52%) |
| | 73 (25.17%) | | 101-250/ μ L | 23 (7.93%) |
| Risk | | | 251-350/ μ L | 34 (11.72%) |
| eterosessuali | 94 (32.41%) | | 351-500/ μ L | 51 (17.59%) |
| MSM | 61 (21.03%) | | >500/ μ L | 82 (28.28%) |
| HIV+ partner | 27 (9.31%) | | missing data | 84 (28.97%) |
| IDU | 88 (30.34%) | | | |
| Mother-to-child | 1 (0.34%) | | | |
| Blood transfusion | 4 (1.38%) | | | |
| missing data | 15 (5.17%) | | | |
| Stranieri | 84 (28.97%) | | | |

Abbiamo fatto 250 telefonate:

And we discovered that the reasons for being lost to follow-up were:

| | |
|---------------------------------|-------------|
| Afferiti ad altro centro | 73 (25.17%) |
| Carceratii | 2 (0.69%) |
| Morti | 77 (26.55%) |

109 (37.59%) erano irraggiungibili

31 (10.70%) sono stati raggiunti e non erano seguiti

Confronto tra l'ultima visita e quella dopo la telefonata

| | At last visit | At re-engagement | p-value |
|--|---------------|------------------|---------|
|--|---------------|------------------|---------|

**Log₁₀ HIV Viral Load,
median (IQR)** 3.41 (1.71 – 4.41) 4.67 (3.80 – 4.94) 0.581

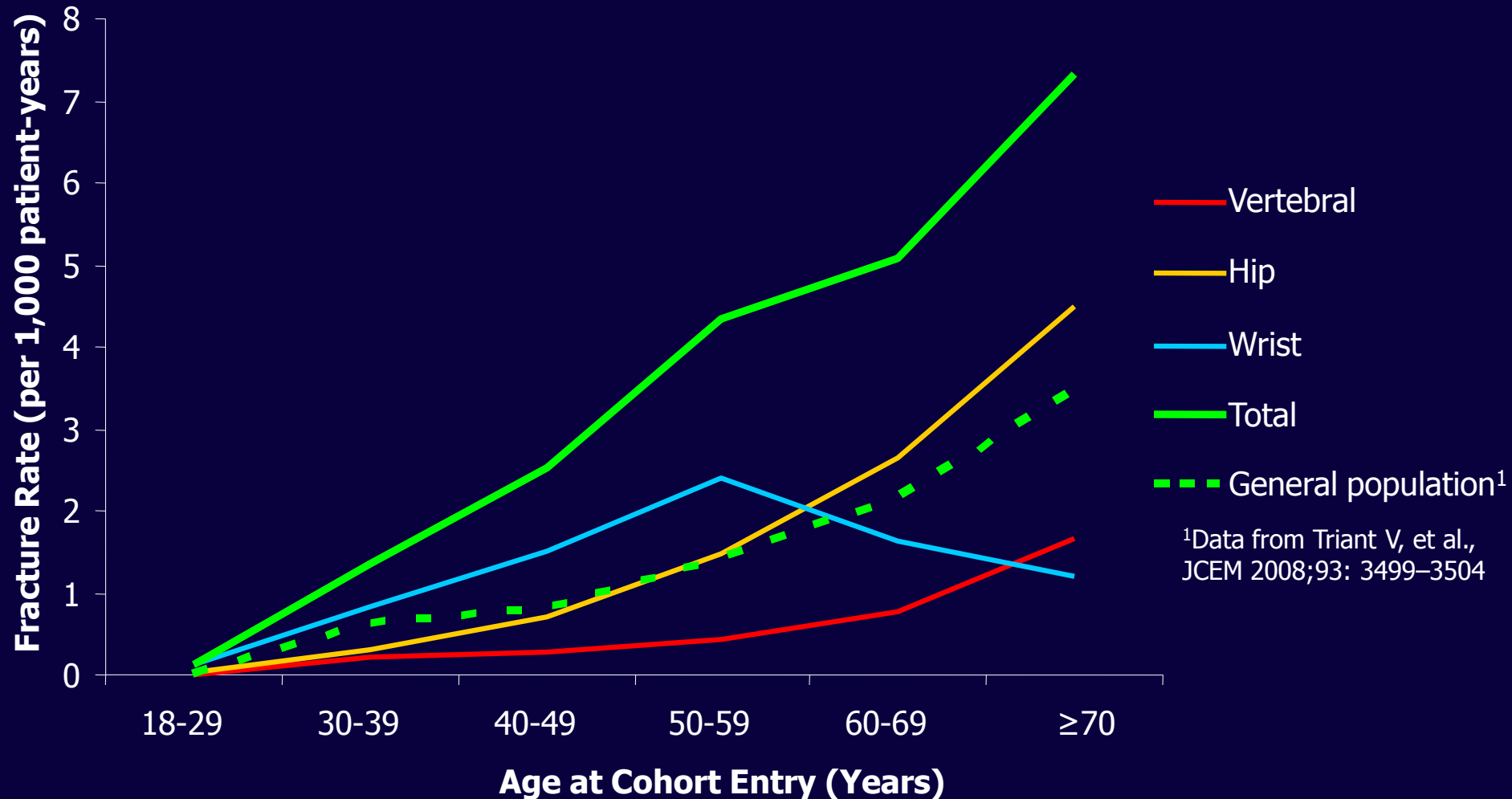
**CD4+ cell count,
median (IQR)** 515.5 (399 – 643) 306 (115 – 482) < 0.001

CD4+ cell count

| | | | |
|----------------------------------|-------------|------------|-------|
| ≤100 | 0 | 5 (20.83%) | 0.035 |
| 101-250/μL | 3 (12.50%) | 6 (25.00%) | 0.053 |
| 251-350/μL | 1 (4.17%) | 2 (8.33%) | 0.297 |
| 351-500/μL | 8 (33.33%) | 5 (20.83%) | 0.671 |
| >500/μL | 12 (50.00%) | 6 (25.00%) | 0.158 |

E per quelli seguiti e in terapia
sono veramente tutte rose e
viole?

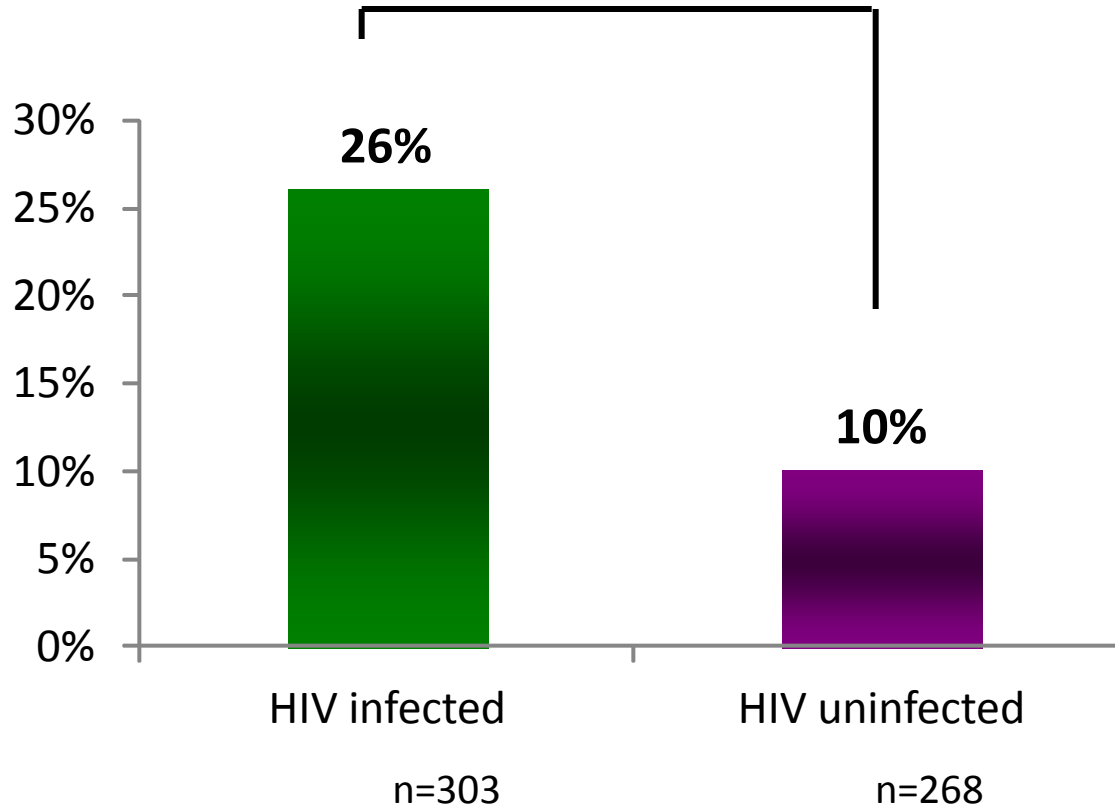
Incidenza di fratture osteoporotiche aggiustata per età



Menopausa in donne HIV+

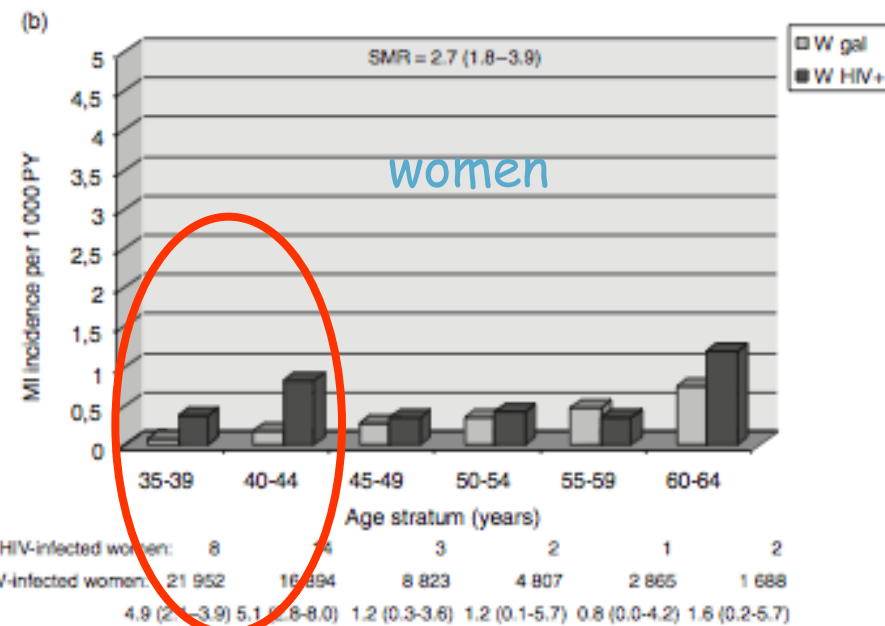
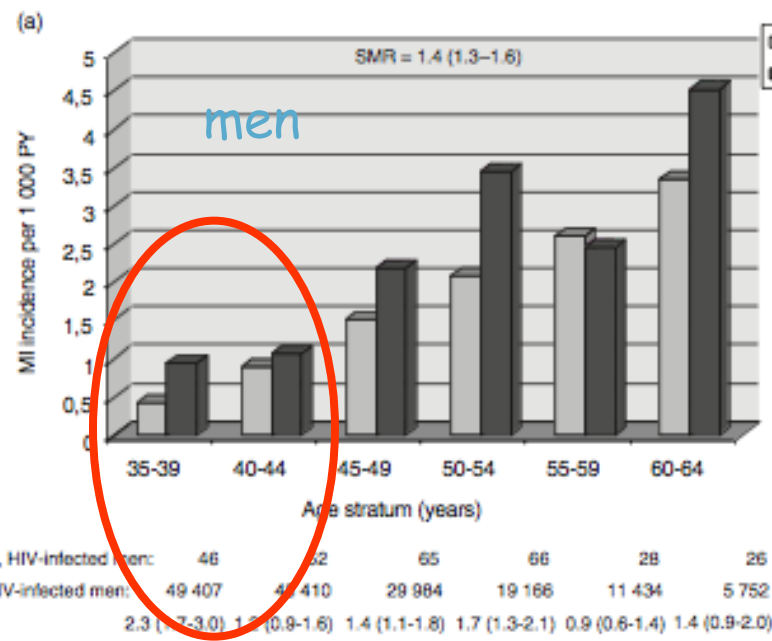
Menopausa precoce (< 40 aa)

P=0.04



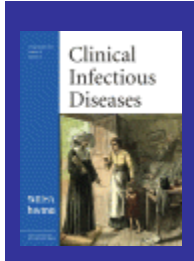
Women living with HIV were 73% more likely to experience early onset of menopause, compared with HIV-uninfected women (P=0.024) (46 vs 47)

Aumentato rischio di infarto del miocardio in soggetti HIV-positivi in Francia rispetto alla popolazione generale



The higher relative risks of MI found in younger men and women raises the possibility of a premature aging effect of HIV infection on the cardiovascular system”

Lang et al. AIDS 2010, 24:1228-1230



Coronary Aging in HIV-Infected Patients

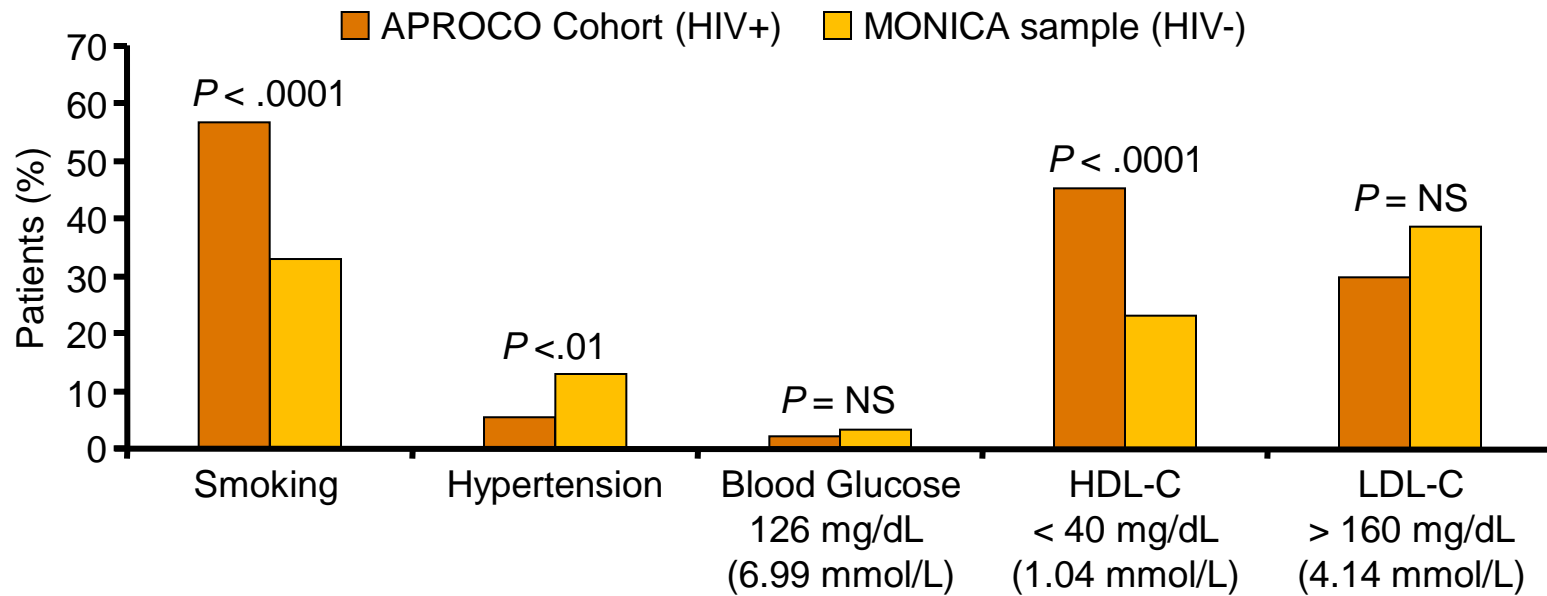
Giovanni Guaraldi,¹ Stefano Zona,¹ Nikolaos Alexopoulos,⁴ Gabriella Orlando,¹ Federica Carli,¹ Guido Ligabue,² Federica Fiocchi,² Antonella Lattanzi,³ Rosario Rossi,³ Maria Grazia Modena,³ Roberto Esposito,¹ Frank Palella,⁵ and Paolo Raggi⁴

¹Metabolic Clinic, Infectious and Tropical Disease Unit, Department of Medicine, ²Radiology Unit, Department of Imaging, and ³Division of Cardiology, Department of Emergency, University of Modena and Reggio Emilia, Modena, Italy; ⁴Division of Cardiology, Department of Medicine, Emory University, Atlanta, Georgia; and ⁵Division of Infectious Diseases, Feinberg School of Medicine, Northwestern University, Chicago, Illinois

Un aumento dell' età vascolare è stato riscontrato in 162 pts (40.5%) con un incremento medio di 15 anni (range 1-43)rispetto all'età anagrafica.



L'incidenza del fumo è aumentata nei soggetti HIV-positivi rispetto alla popolazione generale



- 223 HIV+ men and women on PI-based regimens vs 527 HIV- male subjects
- HIV+ patients had lower HDL and higher TG
- No difference in total cholesterol
- Predicted risk of CHD > in HIV+ men (RR: 1.2) and women (RR: 1.6); $P < .0001$

La percentuale di diabete è aumentata nelle donne HIV+

- 752 HIV+ US women (≥ 6 months of ART) participating in 2 CDC studies (HOPS and SUN cohorts) 2003–2006
- Diabetes was associated with older age, Hispanic race/ethnicity, body mass index $\geq 30 \text{ kg/m}^2$, hepatitis C virus infection and PI use

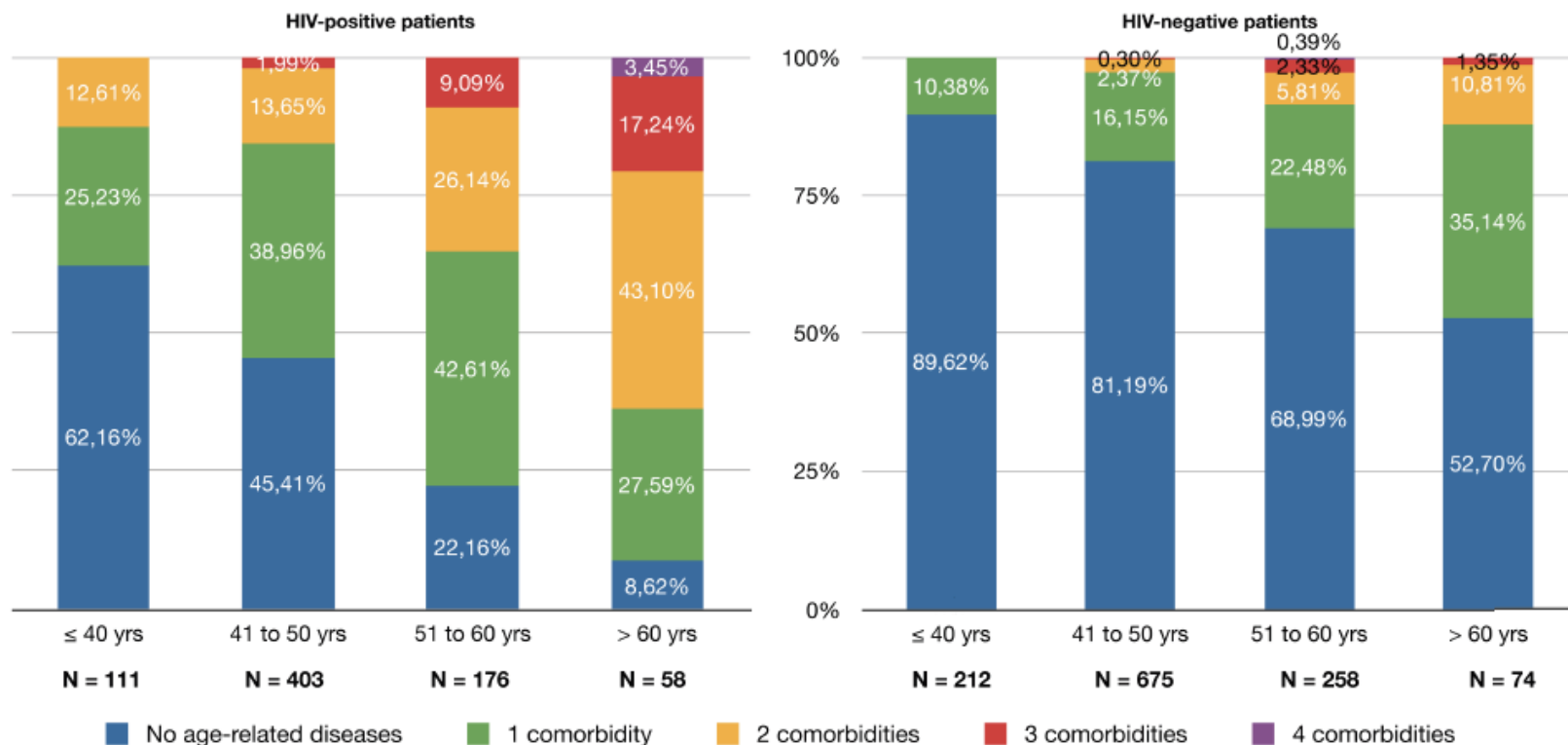
Diabetes among HAART-experienced HIV-infected women, HOPS and SUN studies, 2003-2006

| Characteristic | Black (n=414) | White (n=219) | Hispanic (n=119) | Overall P value |
|-----------------------------------|------------------|------------------|---------------------|--------------------|
| Age, years, median (IQR) | 41 (34, 47) | 42 (38,48) | 43 (37, 49) | 0.003 |
| Years of HAART, median (IQR) | 35 (2.1, 5.7) | 5.3 (3.4, 7.4) | 4.5 (2.4, 6.5) | <0.001 |
| Diabetes, % (CI)* | 13.5 (10.4-17.2) | 11.0 (7.2-15.9) | 22.7 (15.5-31.3) | 0.011 |
| Impaired glucose control, % (CI)* | 6.0 (4.0 – 8.8) | 7.8 (4.6-12.1) | 8.4 (4.1-14.9) | 0.563 |

* Each condition defined by diagnosis, treatment, or laboratory results, including, for diabetes: fasting glucose $> 125\text{mg/DL}$ or two random glucose measurements $> 200\text{mg/dL}$ or two hemoglobin AIC (HGBAIC) measurements $\geq 7.0\%$; for impaired glucose control (excluding diabetes); fasting glucose 110-125mg/dL or two random glucose measurements 140-200mg/gL or single HGBAIC $\geq 6.5\%$ (without normal glucose). IQR, interquartile range

Prevalenza di Poli-pathologie è più comune nei soggetti HIV positivi che nei controlli HIV negativi per ogni strato d'età

Poly-pathology prevalence in cases and controls, stratified by age categories.



The following co-morbidities were analysed: Hypertension, Type 2 Diabetes, Cardiovascular Disease and Osteoporosis.

Pp prevalence was higher in cases than controls in all age strata (all p-values <0.001). Pp prevalence seen cases aged 41-50 was similar to that observed among controls aged >60 controls ($p=0.282$).

Dopo tutto quello che abbiamo detto, trattandosi di una malattia prevenibile sarà ormai scomparsa

Notiziario

SUPPLEMENTO DEL
dell'Istituto Superiore di Sanità

AGGIORNAMENTO DELLE NUOVE DIAGNOSI
DI INFETZIONE DA HIV
E DEI CASI DI AIDS IN ITALIA
AL 31 DICEMBRE 2011



Poste italiane S.p.A. - Spedizione in abbonamento postale - 70% - DCB Roma

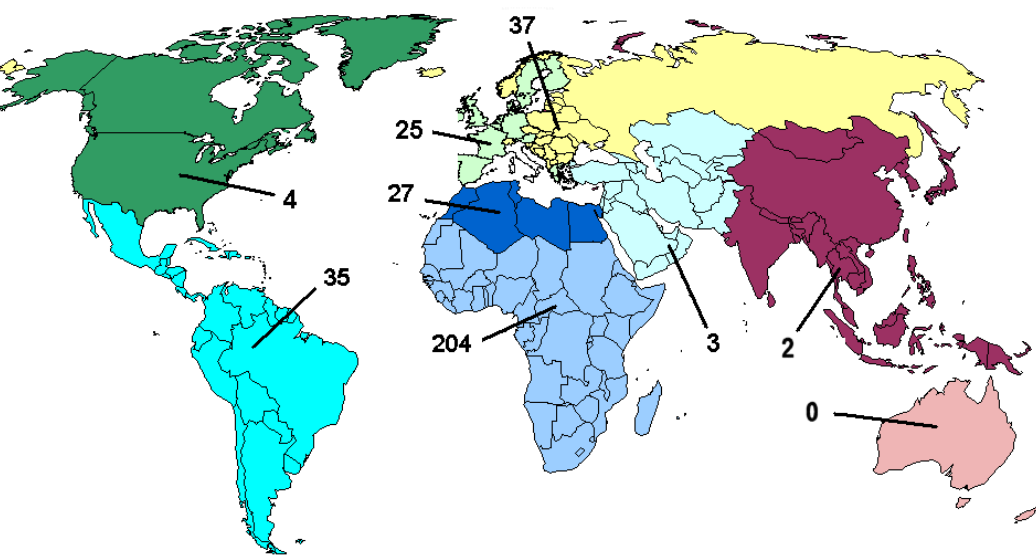
www.iss.it

Tabella 5 - Incidenza delle nuove diagnosi di infezione da HIV nella popolazione italiana e nella popolazione straniera per regione di residenza (2010-2011)

| | 2010 | | | | 2011 | | | |
|-----------------------------------|-----------------------|---------------------|----------------------|--------------------|-----------------------|---------------------|----------------------|--------------------|
| | n. diagnosi stranieri | Incidenza stranieri | n. diagnosi italiani | Incidenza italiani | n. diagnosi stranieri | Incidenza stranieri | n. diagnosi italiani | Incidenza italiani |
| Piemonte | 86 | 22,8 | 229 | 5,6 | 90 | 22,6 | 180 | 4,4 |
| Valle d'Aosta | 4 | 48,7 | 4 | 3,3 | 5 | 57,4 | 6 | 5,0 |
| Lombardia | 181 | 18,4 | 529 | 6,0 | 180 | 16,9 | 539 | 6,1 |
| Provincia Autonoma di Trento | 7 | 15,2 | 30 | 6,3 | 1 | 2,1 | 7 | 1,5 |
| Provincia Autonoma di Bolzano | 2 | 5,1 | 19 | 4,1 | 6 | 14,4 | 20 | 4,3 |
| Veneto | 91 | 18,9 | 206 | 4,6 | 59 | 11,7 | 151 | 3,4 |
| Friuli-Venezia Giulia | 19 | 18,8 | 33 | 2,9 | 20 | 19,0 | 23 | 2,0 |
| Liguria | 27 | 23,6 | 64 | 4,3 | 30 | 23,9 | 69 | 4,6 |
| Emilia-Romagna | 119 | 25,7 | 280 | 7,1 | 92 | 18,4 | 265 | 6,7 |
| Toscana | 80 | 23,6 | 215 | 6,3 | 56 | 15,4 | 174 | 3,7 |
| Umbria | 16 | 17,2 | 30 | 3,7 | 19 | 19,0 | 40 | 1,1 |
| Marche | 28 | 20,1 | 68 | 4,8 | 14 | 9,6 | 50 | 3,5 |
| Lazio | 189 | 38,0 | 316 | 6,1 | 203 | 37,4 | 265 | 5,1 |
| Abruzzo | 10 | 13,2 | 49 | 3,9 | 7 | 8,6 | 36 | 2,9 |
| Molise | 0 | 0,0 | 3 | 1,0 | 4 | 44,8 | 7 | 2,3 |
| Campania | 62 | 42,2 | 153 | 2,7 | 52 | 31,7 | 140 | 2,5 |
| Puglia | 19 | 22,5 | 141 | 3,5 | 36 | 37,6 | 120 | 3,0 |
| Basilicata | 1 | 7,7 | 17 | 3,0 | 5 | 33,9 | 4 | 0,7 |
| Calabria | 8 | 12,1 | 111 | 5,7 | 10 | 13,4 | 16 | 0,8 |
| Sicilia | 35 | 27,5 | 133 | 2,7 | 61 | 43,0 | 141 | 2,9 |
| Sardegna (solo Sassari) | 0 | 0,0 | 14 | 4,2 | 1 | 15,3 | 30 | 9,1 |
| Totale residenti in Italia | 984 | 23,4 | 2.644 | 4,8 | 951 | 21,0 | 2.283 | 3,9 |
| Residenza estera | 31 | | 5 | | 34 | | 5 | |
| Residenza non nota | 66 | | 89 | | 106 | | 76 | |
| Totale* | 1.081 | | 2.738 | | 1.091 | | 2.364 | |



Nuove diagnosi e Aree di provenienza: 439 (28.8%)



| | |
|----------------------|-------|
| Africa Sub-sahariana | 58.1% |
| Europa Centro | 10.0% |
| America Sud | 8.9% |
| Europa Est | 7.7% |
| Africa Nord | 7.5% |
| Asia | 2.5% |
| America Centro | 2.3% |
| Europa Ovest | 2.1% |
| Non noto | 0.7% |
| America del Nord | 0.2% |



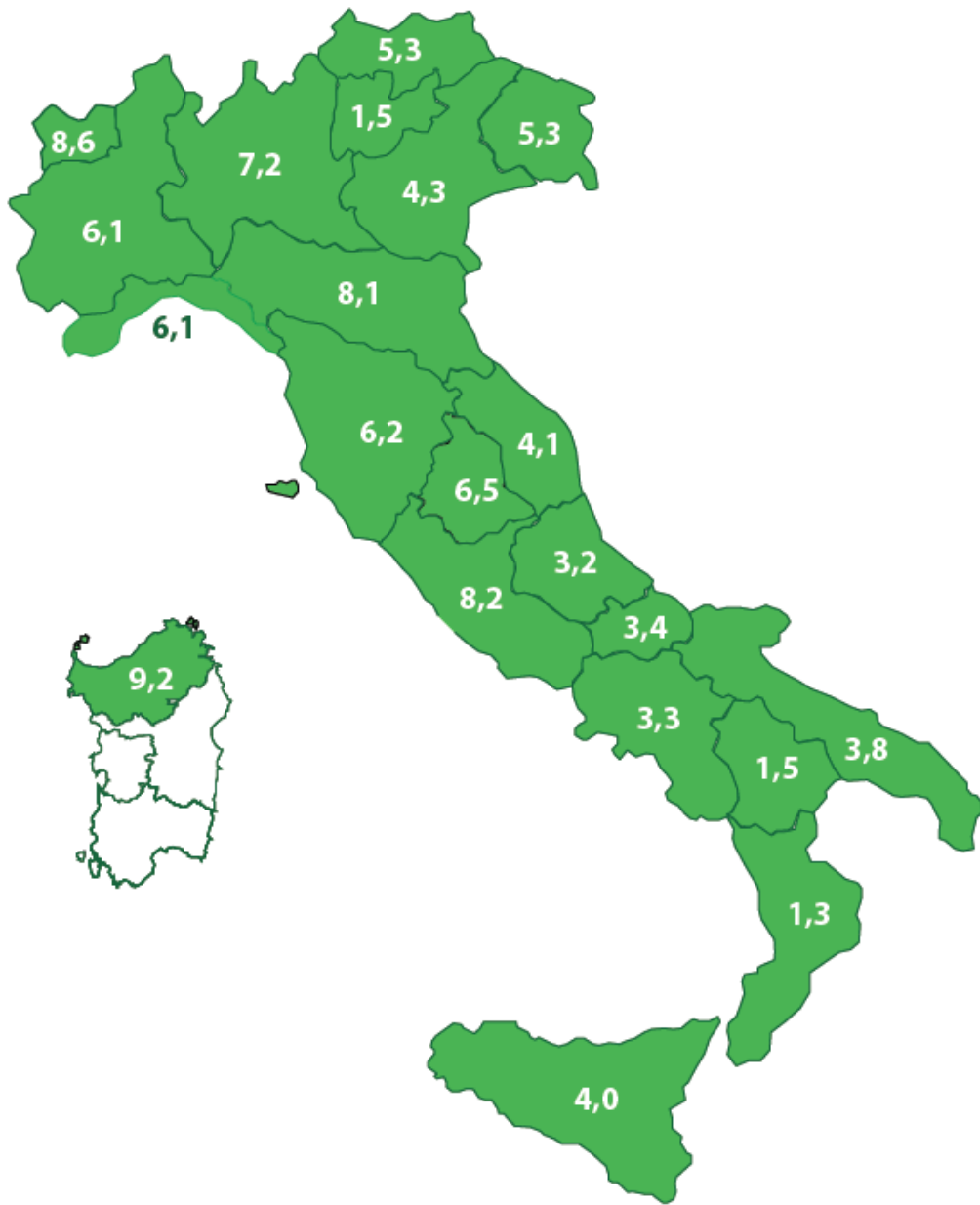


Figura 5 - Incidenza delle nuove diagnosi di infezione da HIV (per 100.000 abitanti). Anno 2011

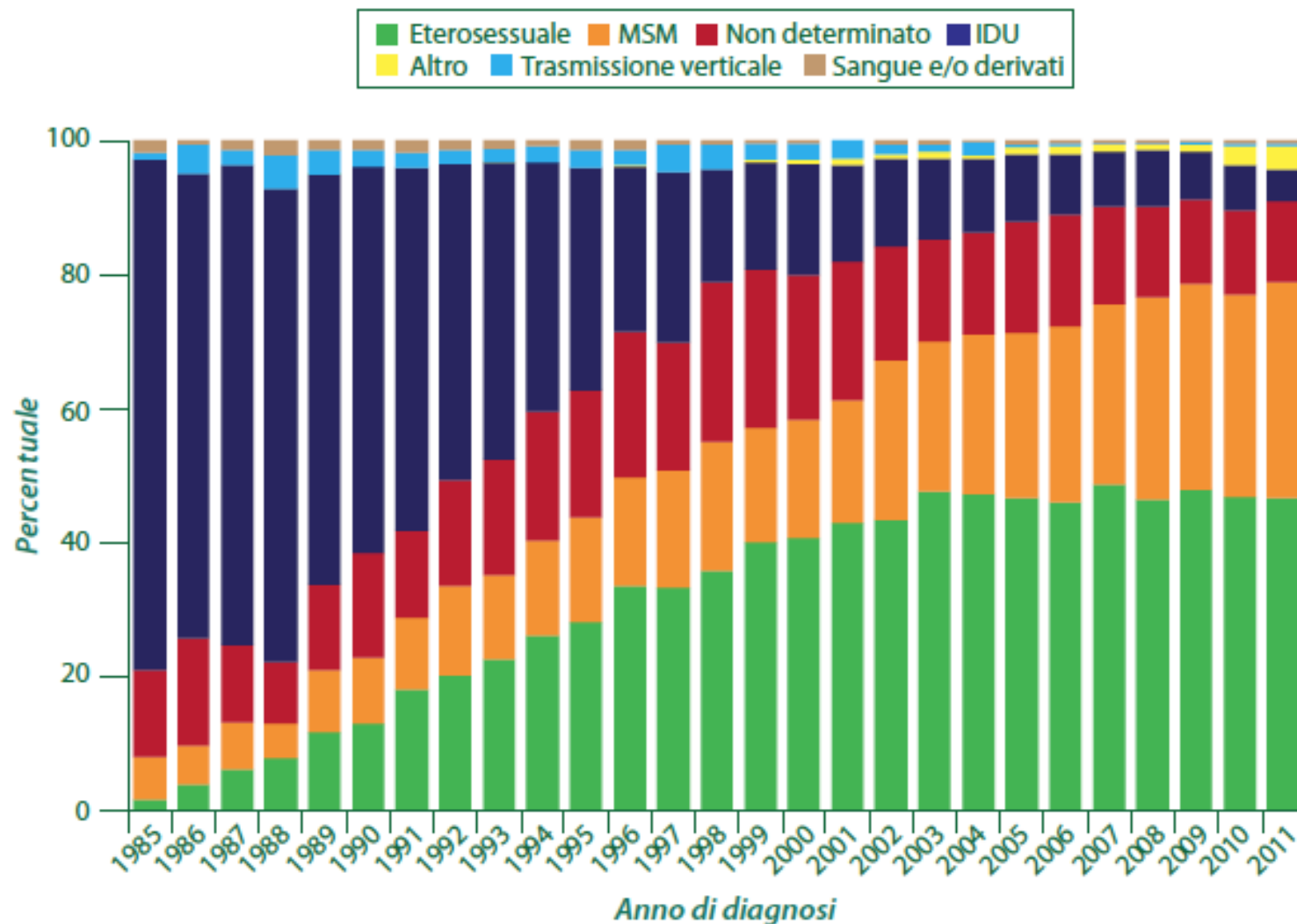


Figura 3 - Distribuzione percentuale delle nuove diagnosi di infezione da HIV, per modalità di trasmissione e anno di diagnosi

Tabella 6 - Distribuzione annuale dei casi di AIDS, dei casi corretti per ritardo di notifica, dei decessi e del tasso di letalità

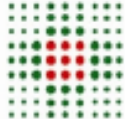
| Anni | Casi diagnosticati | Casi corretti per ritardo di notifica | Morti per anno di decesso | Decessi per anno di diagnosi ^a | Tasso di letalità ^b |
|---------------|--------------------|---------------------------------------|---------------------------|---|--------------------------------|
| 1982 | 1 | 1 | 0 | 0 | 0,0 |
| 1983 | 8 | 8 | 2 | 7 | 87,5 |
| 1984 | 37 | 37 | 16 | 37 | 100,0 |
| 1985 | 198 | 198 | 89 | 187 | 94,4 |
| 1986 | 458 | 458 | 268 | 438 | 95,6 |
| 1987 | 1.030 | 1.030 | 563 | 985 | 95,6 |
| 1988 | 1.775 | 1.775 | 857 | 1.676 | 94,4 |
| 1989 | 2.483 | 2.483 | 1.407 | 2.344 | 94,4 |
| 1990 | 3.136 | 3.136 | 1.947 | 2.940 | 93,8 |
| 1991 | 3.830 | 3.830 | 2.621 | 3.568 | 93,2 |
| 1992 | 4.259 | 4.259 | 3.279 | 3.913 | 91,9 |
| 1993 | 4.804 | 4.804 | 3.670 | 4.117 | 85,7 |
| 1994 | 5.509 | 5.509 | 4.335 | 4.568 | 82,9 |
| 1995 | 5.653 | 5.653 | 4.582 | 4.110 | 72,7 |
| 1996 | 5.053 | 5.053 | 4.202 | 2.898 | 57,4 |
| 1997 | 3.385 | 3.385 | 2.148 | 1.533 | 45,3 |
| 1998 | 2.445 | 2.445 | 1.071 | 1.016 | 41,6 |
| 1999 | 2.142 | 2.142 | 1.057 | 913 | 42,6 |
| 2000 | 1.956 | 1.956 | 1.040 | 761 | 38,9 |
| 2001 | 1.822 | 1.822 | 973 | 646 | 35,5 |
| 2002 | 1.771 | 1.771 | 941 | 585 | 33,0 |
| 2003 | 1.733 | 1.733 | 960 | 570 | 32,9 |
| 2004 | 1.639 | 1.639 | 906 | 452 | 27,6 |
| 2005 | 1.527 | 1.527 | 842 | 396 | 25,9 |
| 2006 | 1.453 | 1.453 | 785 | 272 | 18,7 |
| 2007 | 1.400 | 1.402 | 287 ^c | 182 | 13,0 |
| 2008 | 1.325 | 1.332 | 241 ^c | 139 | 10,5 |
| 2009 | 1.183 | 1.206 | 191 ^c | 124 | 10,5 |
| 2010 | 1.102 | 1.159 | 141 ^c | 97 | 8,8 |
| 2011 | 774 | 1.150 | 121 ^c | 68 | 8,8 |
| Totale | 63.891 | 64.356 | 39.542 | 39.542 | 61,9 |

(a) Il numero di decessi indica quanti dei pazienti, diagnosticati in uno specifico anno, risultano deceduti al 31-12-2011

(b) Il tasso di letalità è calcolato come il rapporto tra i decessi per anno di diagnosi ed i casi diagnosticati nello stesso anno

(c) Dati non ancora verificati con il registro di mortalità generale dell'ISTAT

COORDINAMENTO PROVINCIALE AIDS



SERVIZIO SANITARIO REGIONALE
EMILIA-ROMAGNA
Azienda Unità Sanitaria Locale di Modena



SERVIZIO SANITARIO REGIONALE
EMILIA-ROMAGNA
Azienda Ospedaliero - Universitaria di Modena

Osservatorio provinciale sull'infezione da HIV

Edizione 2012

A cura di:
Vanni Borghi¹
Giuliano Carrozzi²
Letizia Sampaolo²
Marisa Meacci³
Fabiano Benedetti⁴

Tabella 1 - Notifiche di infezione da HIV - Residenti in provincia di Modena - Anni 1985-2011¹

| | 1985 | 1986 | 1987 | 1988 | 1989 | 1990 | 1991 | 1992 | 1993 | 1994 | 1995 | 1996 | 1997 | 1998 | 1999 | 2000 | 2001 | 2002 | 2003 | 2004 | 2005 | 2006 | 2007 | 2008 | 2009 | 2010 | 2011 | Totale |
|--------|------|------|------|------|------|------|------|------|------|------|------|------|------|------|------|------|------|------|------|------|------|------|------|------|------|------|------|--------|
| Donne | 42 | 49 | 52 | 29 | 22 | 22 | 18 | 18 | 26 | 16 | 16 | 21 | 25 | 18 | 29 | 18 | 25 | 21 | 18 | 25 | 18 | 21 | 19 | 14 | 15 | 27 | 13 | 637 |
| Uomini | 135 | 81 | 120 | 80 | 99 | 67 | 73 | 69 | 50 | 48 | 46 | 49 | 52 | 42 | 35 | 35 | 29 | 36 | 43 | 39 | 38 | 43 | 36 | 41 | 46 | 33 | 44 | 1509 |
| Totale | 177 | 130 | 172 | 109 | 121 | 89 | 91 | 87 | 76 | 64 | 62 | 70 | 77 | 60 | 64 | 53 | 54 | 57 | 61 | 64 | 56 | 64 | 55 | 55 | 61 | 60 | 57 | 2146 |

Figura 1 - Andamento delle notifiche per infezione da HIV - Residenti in provincia di Modena - Anni 1985-2011

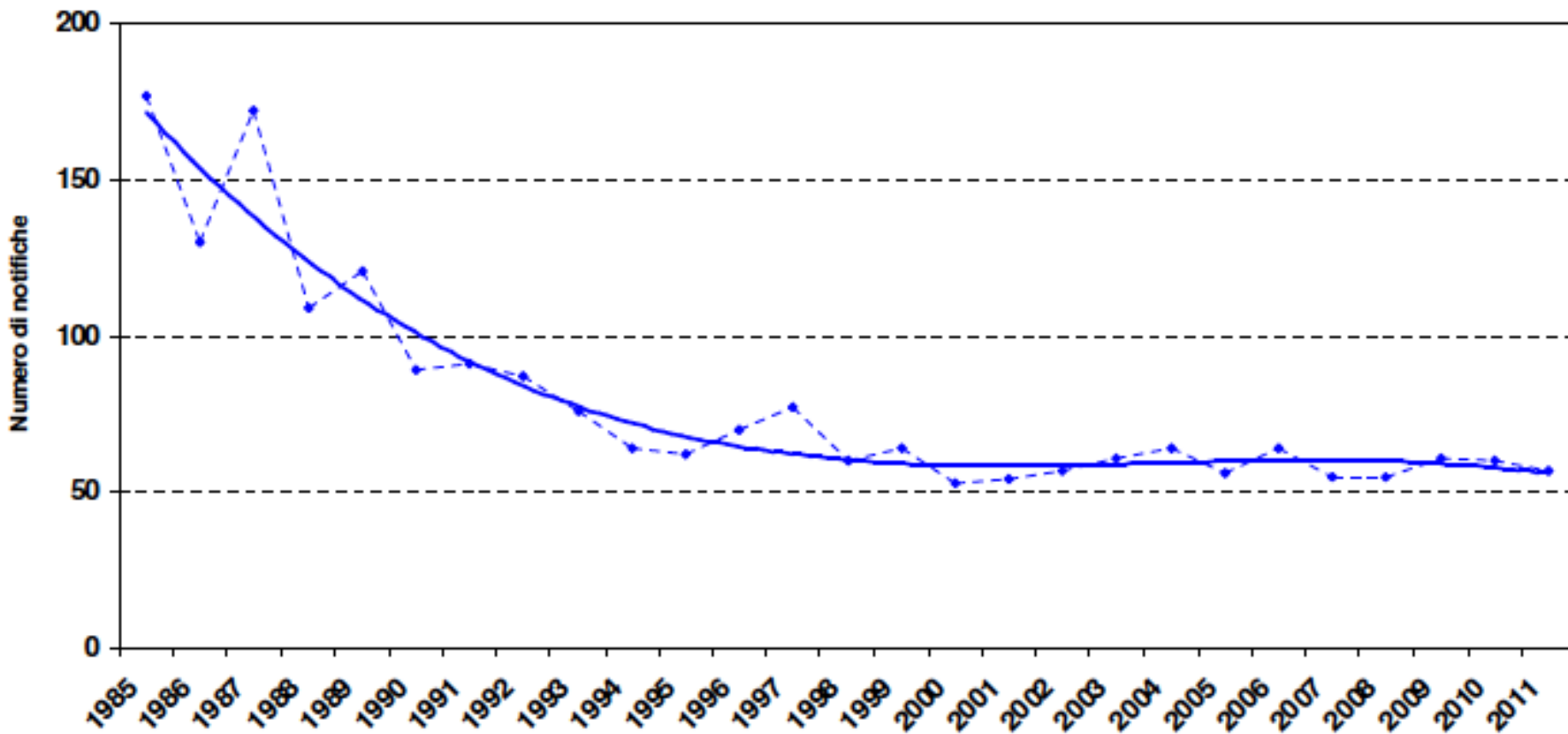


Tabella 3 - Età mediana alla notifica di infezione da HIV - Residenti in provincia di Modena – Anni 1985-2011

| | 1985 | 1986 | 1987 | 1988 | 1989 | 1990 | 1991 | 1992 | 1993 | 1994 | 1995 | 1996 | 1997 | 1998 | 1999 | 2000 | 2001 | 2002 | 2003 | 2004 | 2005 | 2006 | 2007 | 2008 | 2009 | 2010 | 2011 |
|--------|------|------|------|------|------|------|------|------|------|------|------|------|------|------|------|------|------|------|------|------|------|------|------|------|------|------|------|
| Donne | 22 | 22 | 24 | 23 | 25 | 27 | 28 | 30 | 31 | 30 | 30 | 30 | 30 | 30 | 28 | 31 | 31 | 28 | 32 | 33 | 32 | 36 | 32 | 36 | 37 | 41 | 39 |
| Uomini | 23 | 25 | 25 | 26 | 28 | 29 | 31 | 32 | 32 | 33 | 33 | 33 | 35 | 35 | 36 | 37 | 39 | 37 | 39 | 43 | 38 | 39 | 40 | 38 | 41 | 39 | 43 |
| Totale | 23 | 24 | 25 | 25 | 27 | 28 | 30 | 32 | 32 | 33 | 32 | 32 | 34 | 33 | 33 | 34 | 35 | 33 | 38 | 38 | 37 | 38 | 37 | 36 | 38 | 40 | 43 |

Figura 2 - Andamento dell'età mediana alla notifica di infezione da HIV - Residenti in provincia di Modena – Anni 1985-2011

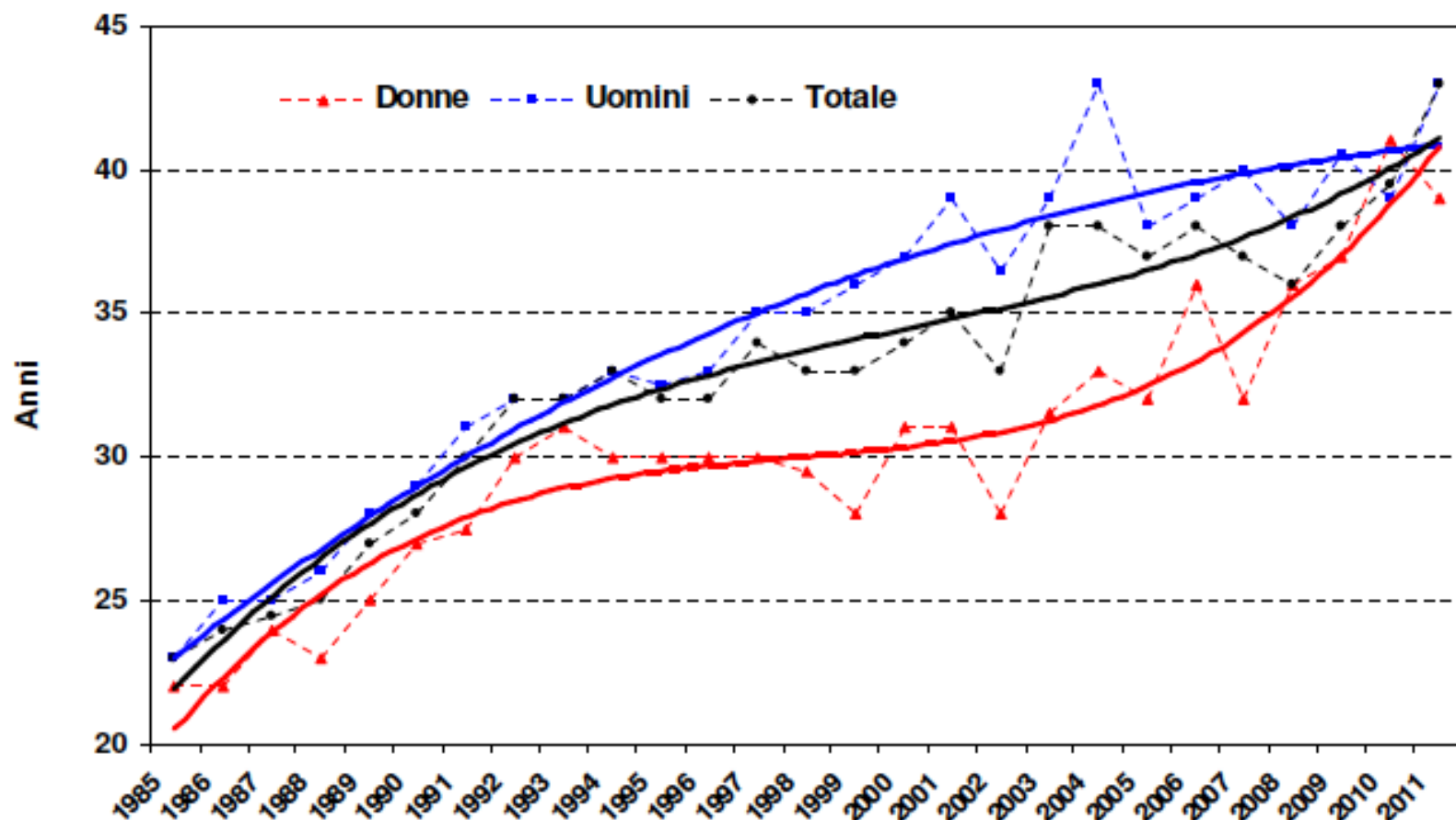


Tabella 4 - Tassi grezzi di incidenza (per 100.000 abitanti) delle notifiche per infezione da HIV per sesso - Residenti in provincia di Modena - Anni 1985-2011

| | 1985 | 1986 | 1987 | 1988 | 1989 | 1990 | 1991 | 1992 | 1993 | 1994 | 1995 | 1996 | 1997 | 1998 | 1999 | 2000 | 2001 | 2002 | 2003 | 2004 | 2005 | 2006 | 2007 | 2008 | 2009 | 2010 | 2011 |
|--------|------|------|------|------|------|------|------|------|------|------|------|------|------|------|------|------|------|------|------|------|------|------|------|------|------|------|------|
| Donne | 13,7 | 15,9 | 16,9 | 9,4 | 7,1 | 7,1 | 5,8 | 5,8 | 8,4 | 5,1 | 5,1 | 6,7 | 7,9 | 5,7 | 9,1 | 5,6 | 7,7 | 6,4 | 5,5 | 7,5 | 5,4 | 6,2 | 5,6 | 4,1 | 4,3 | 7,6 | 3,6 |
| Uomini | 46,6 | 28,0 | 41,6 | 27,7 | 34,2 | 23,0 | 24,9 | 23,4 | 16,9 | 16,2 | 15,6 | 16,5 | 17,4 | 14,0 | 11,6 | 11,5 | 9,4 | 11,5 | 13,6 | 12,2 | 11,7 | 13,2 | 10,9 | 12,3 | 13,6 | 9,7 | 12,8 |
| Totale | 29,7 | 21,8 | 28,9 | 18,3 | 20,2 | 14,8 | 15,1 | 14,4 | 12,5 | 10,5 | 10,2 | 11,5 | 12,5 | 9,7 | 10,3 | 8,5 | 8,5 | 8,9 | 9,5 | 9,8 | 8,5 | 9,6 | 8,2 | 8,1 | 8,9 | 8,6 | 8,1 |

Figura 3a - Andamento del tasso grezzo di incidenza (per 100.000 abitanti) - Residenti in provincia di Modena - Anni 1985-2011

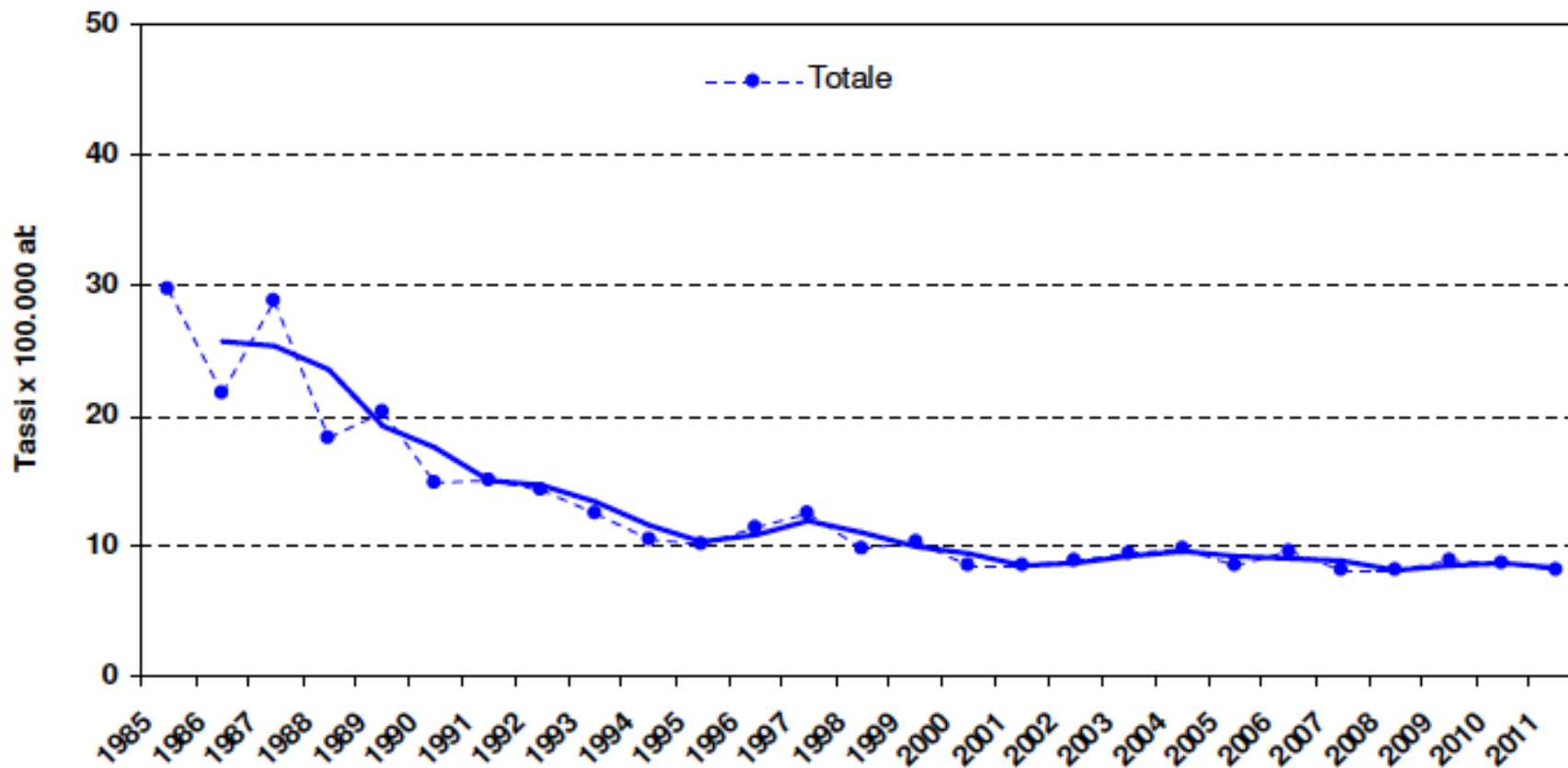


Figura 4 - Andamento dei tassi di incidenza (per 100.000 abitanti) delle notifiche per infezione da HIV specifici per classi di età - Residenti in provincia di Modena - Anni 1985-2011

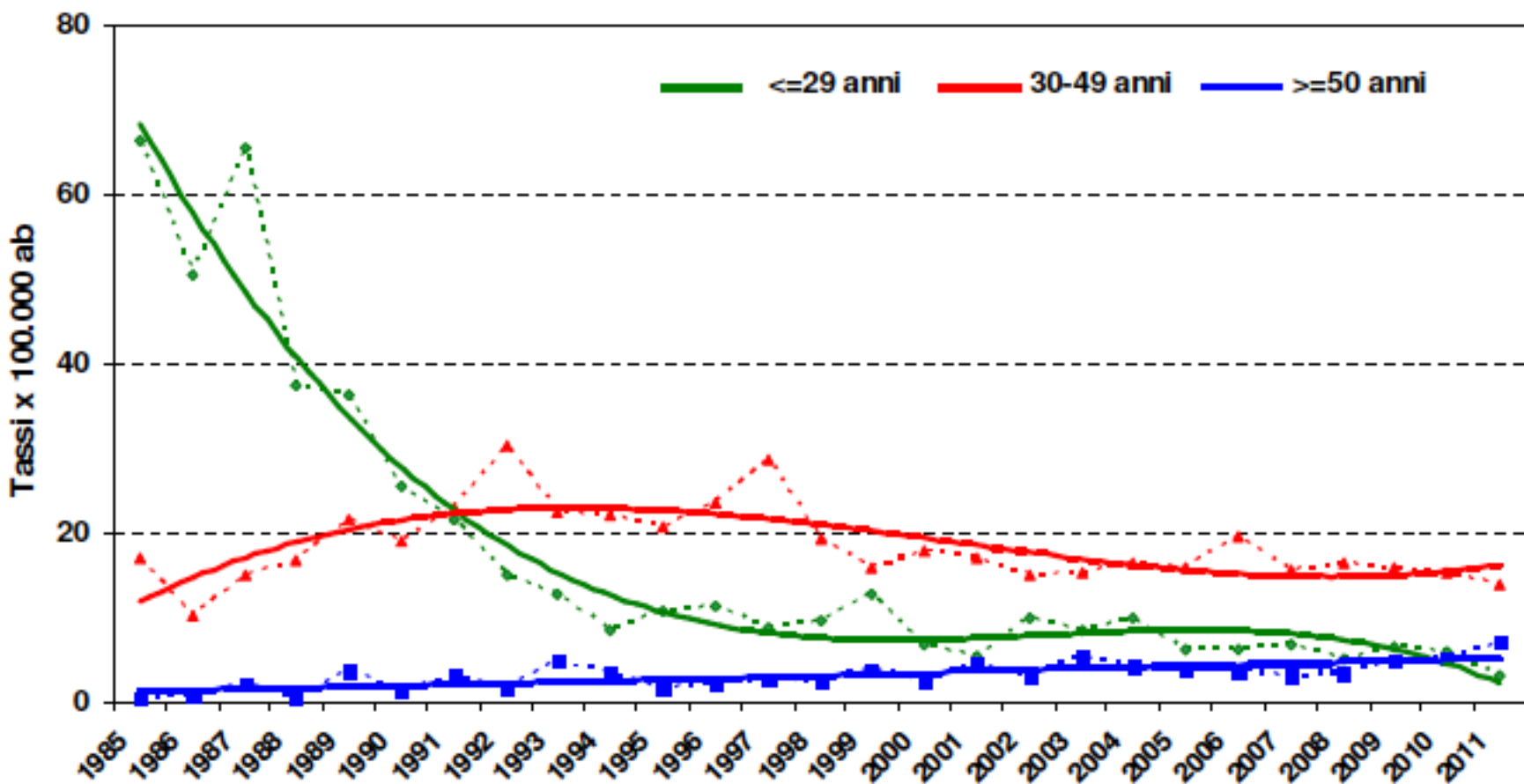
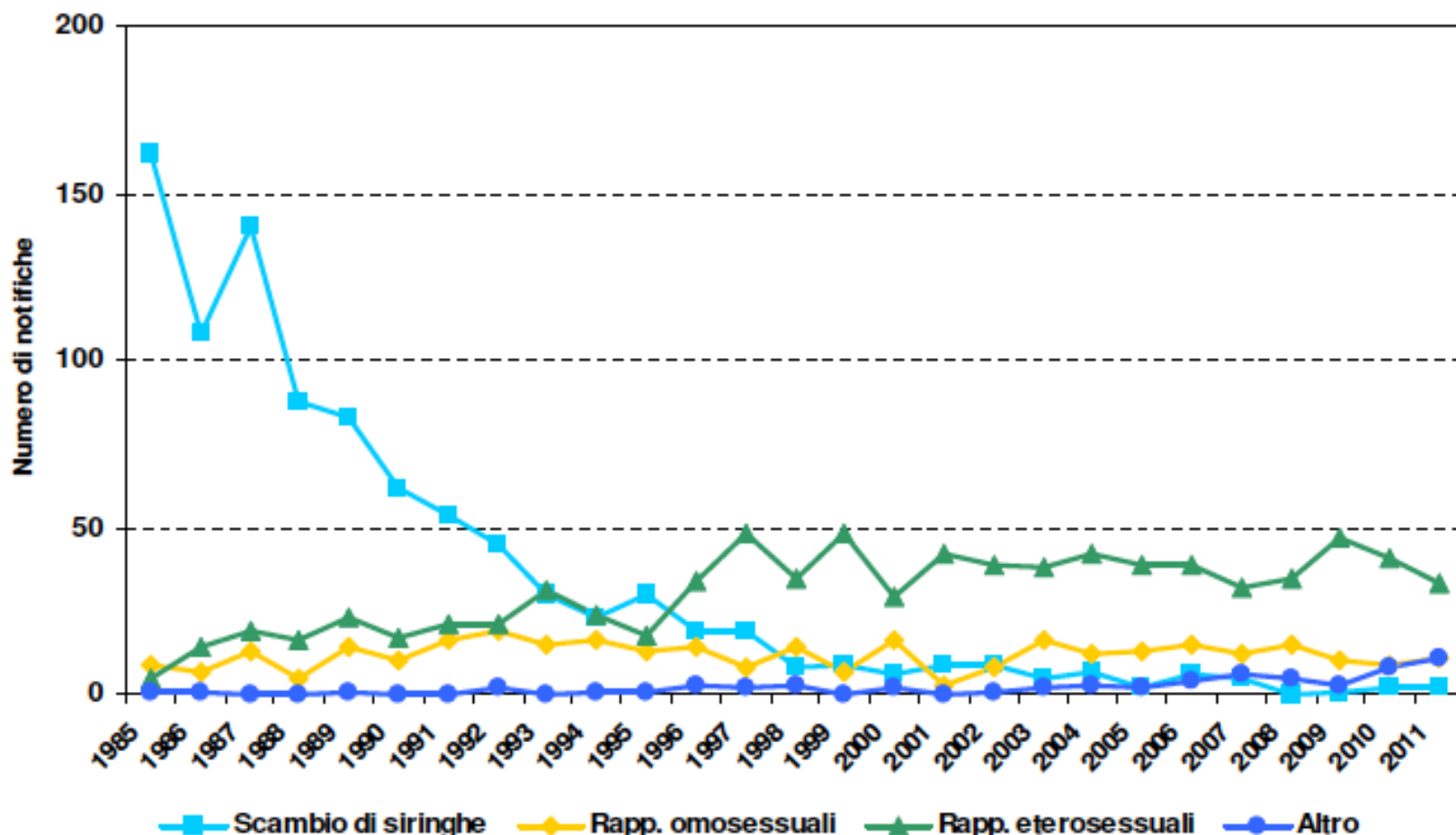


Tabella 9 - Andamento delle notifiche di infezione da HIV per via di trasmissione - Residenti in provincia di Modena
Anni 1985-2011

| | 1985 | 1986 | 1987 | 1988 | 1989 | 1990 | 1991 | 1992 | 1993 | 1994 | 1995 | 1996 | 1997 | 1998 | 1999 | 2000 | 2001 | 2002 | 2003 | 2004 | 2005 | 2006 | 2007 | 2008 | 2009 | 2010 | 2011 | Totale |
|---------------------|------|------|------|------|------|------|------|------|------|------|------|------|------|------|------|------|------|------|------|------|------|------|------|------|------|------|------|--------|
| Scambio di siringhe | 162 | 108 | 140 | 88 | 83 | 62 | 54 | 45 | 30 | 23 | 30 | 19 | 19 | 8 | 9 | 6 | 9 | 9 | 5 | 7 | 2 | 6 | 5 | 1 | 2 | 2 | 934 | |
| Rapp. omosessuali | 9 | 7 | 13 | 5 | 14 | 10 | 16 | 19 | 15 | 16 | 13 | 14 | 8 | 14 | 7 | 16 | 3 | 8 | 16 | 12 | 13 | 15 | 12 | 15 | 10 | 9 | 11 | 320 |
| Rapp. eterosessuali | 5 | 14 | 19 | 16 | 23 | 17 | 21 | 21 | 31 | 24 | 18 | 34 | 48 | 35 | 48 | 29 | 42 | 39 | 38 | 42 | 39 | 39 | 32 | 35 | 47 | 41 | 33 | 830 |
| Altro | 1 | 1 | | 1 | | | 2 | | 1 | 1 | 3 | 2 | 3 | | 2 | 1 | 2 | 3 | 2 | 4 | 6 | 5 | 3 | 8 | 11 | 62 | | |
| Totale | 177 | 130 | 172 | 109 | 121 | 89 | 91 | 87 | 76 | 64 | 62 | 70 | 77 | 60 | 64 | 53 | 54 | 57 | 61 | 64 | 56 | 64 | 55 | 55 | 61 | 60 | 57 | 2.146 |

Figura 6 - Andamento delle notifiche di infezione da HIV per via di trasmissione - Residenti in provincia di Modena
Anni 1985-2011



CONCLUSIONI

La terapia antiretrovirale ha modificato radicalmente la storia naturale dell'infezione da HIV soprattutto per quanto riguarda la mortalità.

Nonostante la normalizzazione della malattia di base, tuttavia, i soggetti con infezione da HIV sono molto più a rischio di patologie croniche sia legate all'infezione stessa sia ai farmaci.

Infine, come sfide irrisolte per la strategia della terapia come prevenzione rimangono:

- La presentazione tardiva conseguente al ritardo di diagnosi
- La perdita dei pazienti al follow-up -